

الفصل الثامن

التصوير المقطعي المحوسب

**Computed Tomography**

CT

## ١ - المقدمة

تعتبر تقانة التصوير الشعاعي باستخدام التصوير المقطعي المحوسب CT من أهم التقانات المستخدمة في الوقت الحاضر للتشخيص باستخدام الاشعة السينية والتي تمتاز بالصورة التشخيصية ذات النوعية الجيدة وتولد صور واضحة حتى للمقاطع الصغيرة جداً. اول تصاميم الهندسية لانتاج مثل هذا الجيل من الاجهزة للتصوير الشعاعي وضع عام ١٩٧٠ من قبل المهندس البريطاني هاونسفيلد (Hounsfield)، وبعد عدة سنوات تم انتاج واستخدام مثل هذه الاجهزة والتي تمتاز بانها لاتصور الاعضاء بالطرق التقليدية حيث لا يوجد مستلم للصورة مثل الأفلام الفوتوغرافية وشاشة التقوية او صفيحة التصوير الصفرى (Xerox paper) . ففي التصوير المقطعي المحوسب توجه حزمة من الاشعة السينية الى المريض والتي تتوجه داخل جسم المريض حسب كثافة الاجزاء ثم تسقط على كاشف للأشعاع استجابته للإشعاع الموهن جيدة، ترسل المعلومات الى حاسبة لغرض تحليل الاشارات وبناء الصورة ثم عرضها على الحاسب لغرض التشخيص او تصويرها لغرض الحفظ الدائمي . تبني صورة الاجزاء لشريحة معينة في الجسم داخل الحاسب باستخدام معادلات رياضية تسمى بنظام العد العشري (algorithms). يحتاج فهم عمل التصوير المقطعي الحلزوني الى معلومات جيدة في الفيزياء ، الهندسة ، والحسابات . التصوير الشعاعي التقليدي هو تصوير محوري (axial) يكون فيه مستوى الصورة موازياً الى محور جسم المريض . يعتمد اساس عمل التصوير المقطعي المحوسبي CT على اسقاط الحزمة على الجزء المراد فحصه ثم استلام الاشعة الموهنة بواسطة كاشف للأشعاع يحولها الى اشارة كهربائية تغذي الى حاسب ، وتكون حركة كل من الكاشف وحزمة الاشعة بشكل متزامن . عندما تصور منظومة (المصدر - الكاشف) نسيجاً معيناً فإن ذلك الجزء يقوم بتوهين الاشعة السينية بشكل يتناسب مع الكثافة والعدد الذري للجزاء التي يخترقها . لذلك فإن شدة الاشاعر المسجل في الكاشف مختلفة حسب الجزء المار فيه مكوناً صورة لتوزيع الشدة او مسقط الصورة (projection) وفي نهاية التصوير تتوقف المنظومة وتعود الى وضعها الاول كي تبدأ بالمسح الثاني . وعند تكرار عملية المسح نحصل على صورة ذات عدة مساقط وهذه الصورة لا يمكن رؤيتها على الشاشة لأنها بشكل اشارات كهربائية ولكنها تخزن في الحاسبة . يقوم الحاسب بمعالجة هذه المساقط وحذف الصور المتراكبة عن بعضها للحصول على صورة واضحة للشريحة المراد فحصها .

## ٨ - ٢ أجيال التصوير المقطعي المحوسب (CT)

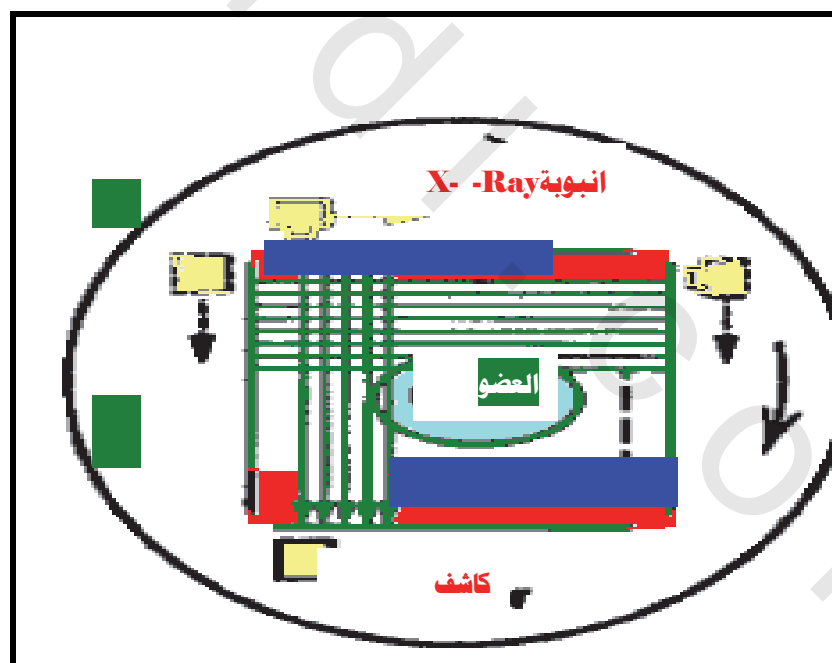
لقد مررت عملية تطور التصوير المقطعي المحوسب (CT) بأربعة أجيال هي

### ١- الجيل الأول للفحص

ت تكون أجهزة التصوير المقطعي المحوسب (CT) في هذا الجيل من حزمة للاشعة السينية مسددة بشكل دقيق جداً (pencil beam) الى منظومة الكاشف التي تتكون من ثلاثة كواشف . هذه المنظومة تتحرك عرضياً حول المريض وتدور خلال الانتقالات المنكررة . وأحد انواع هذا الجيل يتطلب ١٨٠ انتقالاً وكل انتقالة مفصولة عن الآخر بدرجة واحدة من الدورات وفي كل مسح تتولد صورتان للشريحة المراد فحصها بواسطة كاشفي منظومة الكاشف . اما الكاشف الثالث من المنظومة فيصور الاشعة السينية غير الموهنة اي التي لا تمر بالجسم وتعتبر مرجعية لبقية الصور (شكل ٨-١) .

(شكل ٨ - ١) الجيل الأول للتصوير المقطعي المحوسب

### حركة خطية- دورانية



من مساوي هذا الجيل هو الزمن الطويل للتصوير والذي يصل الى حوالي ٥ دقائق وبذلك تكون الجرعة كبيرة كذلك الحرمة الدقيقة تتعرض الى تشتت كبير والذي يقلل من جودة الصورة . عند التصوير في هذا الجيل يجب وضع كيس من الماء على جسم المريض باتجاه عمودي على الاشعة السينية الساقطة لأن الماء ضروري لتهيئة التغير الحاد في التوهين الاشعاعي الذي يحصل بين الهواء والجلد او عظام الراس

## ٢- الجيل الثاني

الفرق الاساس عن الجيل الاول استخدام حزمة عريضة مروحة الشكل (fan beam) ومنظومة الكاشف تحتوي على عدة كواشف لعرض قطع حزمة الاشعة السينية العريضة نسبيا واستخدم هذا الجيل عام ١٩٧٦ وقد استطاع الجهاز الوصول الى هدف تصنيع وهو ان زمن مسح الصورة وصل الى ٢٠ ثانية . ويمتاز هذه الجيل :

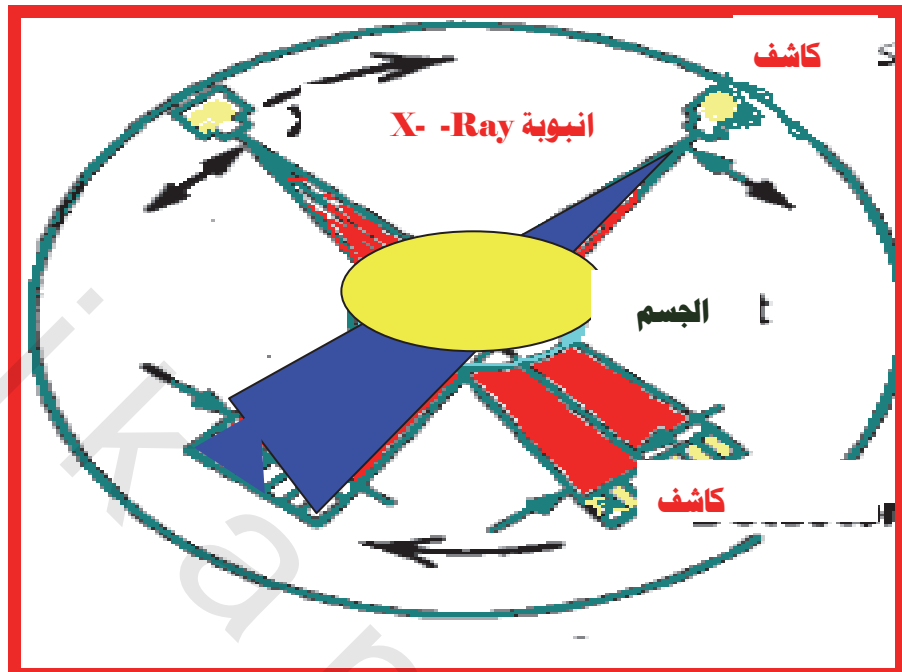
١/ سرعة فحصة لأن عدد الكواشف المستخدمة يتراوح بين ٣٠-٥ كاشف لذلك لأن زمن المسح يكون اقل مما هو للجيل الاول وكل انتقالة تفصل عن الاخر بزاوية ١٠° لذلك تحتاج الى ١٨ انتقالة لمسح ١٨٠ من الجسم.

٢/ يؤدي زيادة عدد الكواشف الى الحصول على صور واضحة المعالم .

٣/ لا تعتمد قدرة تفريغ الكواشف للصور على مساحة الكاشف .

٤/ كل كاشف يصور الجزء المراد فحصه . ولأن جميع هذه الكواشف تنقل لتصوير الشريحة المطلوبة للمريض لذلك لأن الحرمة المرجعية غير الموهنة يمكن ان تستخدم في كل صورة حيث ان الاشارة الخارجة من الكاشف تعبر وتحول الحركة الى كمية قياسية (normal) خلال كل انتقالة باستخدام الحرمة المرجعية غير الموهنة . شكل (٢-٨) يمثل الجيل الثاني للتصوير الطبي المحسوب

شكل (٢-٨) الجيل الثاني للتصوير المقطعي المحوسب حركة خطية- دورانية صغيرة



أن من أهم مساوى هذا الجيل هو زمن التعرض والذي يكون بحدود ٢٠ ثانية لكل مسحة واحدة من التصوير وذلك للتعقيد الميكانيكي في تدوير المنظومة والكتلة الكبيرة للمجمع(المسد الدائر) gantry

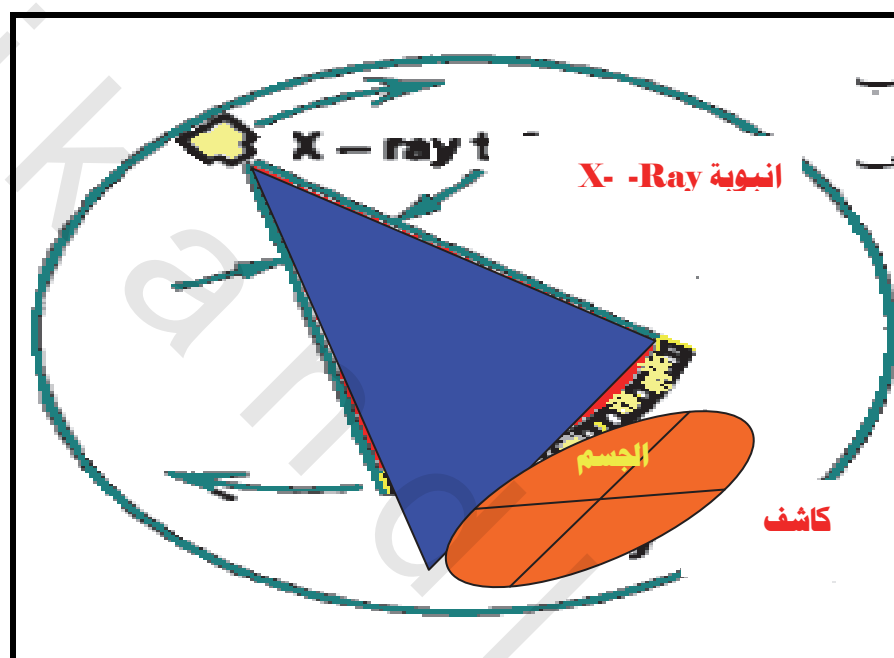
### ٣-الجيل الثالث

يمتاز هذا الجيل بالمتطلبات التقنية العالية لتراكم خبرة الشركات المصنعة لتصنيع منظومات التصوير المقطعي بالإضافة إلى نقصان الكلف الاقتصادية والحصول على صور جيدة و تقليل الفحص عن طريق استخدام مجموعة من الكواشف والتي تدور هي والأشعة السينية مركزياً بشكل متزامن حول المريض كوحدة واحدة وبזמן اقل من ثانية واحدة لكل مسحة واحدة من التصوير وتكون الكواشف بشكل صف على شكل قوس حلقي يحتوي على الاقل ٥٠ كاسفاً وحزمة مروحة عرضها ٦٠-٣٠ . شكل (٣-٨) يمثل الجيل الثالث للتصوير المقطعي المحوسب

اهم خواص منظومة الجيل الثالث

- ١- الحزمة المروحية ومجموعة الكواشف تصور الجزء الداخلي .
- ٢- يكون بناء وإنشاء الصور جيداً وذلك لأن المسافة بين مصدر الإشعة والكافش ثابتة .
- ٣- شكل منظومة الكواشف والمصدر في هذا الجيل تسمح بتسديد جيد للحزمة الشعاعية وبذلك تقلل من تأثير تشتت الإشعاع وهذا النوع من التسديد يسمى بتسديد ما قبل الكافش او ما بعد المريض ويعلم عمل

**شكل (٣-٨) الجيل الثالث الحزمة مروحية الحركة دوارة نية - دورانية**



الشبكة في أجهزة الأشعة السينية التقليدية وتقلل من الجرعة الإشعاعية . ان التسديد ما قبل المريض يؤدي إلى تقليل تشتت الإشعة وبالتالي زيادة تباين الصورة وفي الأجهزة التقليدية يوجد مسدد واحد فقط يوضع في فتحة نفوذ الأشعة السينية في منظومة التصوير المقطعي فيوجد مسددين أحدهما قبل المريض واخر ما بعد المريض فالمسدد الاول يتكون من عدة اجزاء موازية للاشعة السينية والتي تقلل من شدة الإشعاع على الجزء المصور،وبذلك تقلل الجرعة الإشعاعية وتقلل من سمك الشريحة، وهناك مسدد اخر يسمى مسدد ما بعد المريض او المسد

ما قبل الكواشف والذي يحدد الحزمة الساقطة على الكاشف وتقلل من تشتت الاشعة السينية وترزيد من كفاءة الصورة . ان المسددين يعملان معاً لتحديد الشريحة بشكل دقيق .

من اهم مساويء الجيل الثالث هو تولد اجزاء مشوهة في الصورة ويعود ذلك الى ان كل كاشف يصور جزء صغير من النسيج لذلك فأن عطل كاشف او مجموعة منها يؤدي الى تشوّه الاشارة الناتجة عن هذا الجزء وتكون حلقة في الصورة الكلية . ومن المحتمل اعادة معالجة هذه الصورة في الحاسب لتقليل مثل هذا التشوّه.

#### ٤- الجيل الرابع

في هذا الجيل يتحرك انبوب الاشعة السينية الساقطة فقط داخل مجموعة من الكواشف تكون بشكل دائرة كاملة تحيط بجهاز الاشعة السينية الذي يدور حول المريض و الكاشف ثابتة لا تتحرك ويصل عدد هذه الكواشف الى ١٠٠ جزء . وتكون حركة الاشعة السينية مروحة الشكل وهذا الجيل يستطيع ان يمسح العضو المراد تصويره خلال ثانية شكل (٨-٤) . ويمكن تصوير اسماك مختلفة من خلال التسديد على المريض اوتوماتيكياً وقد تم استخدام منضومات اشعة سينية دوارة في القياسات واختفت منظومات الحركة الدورانية -

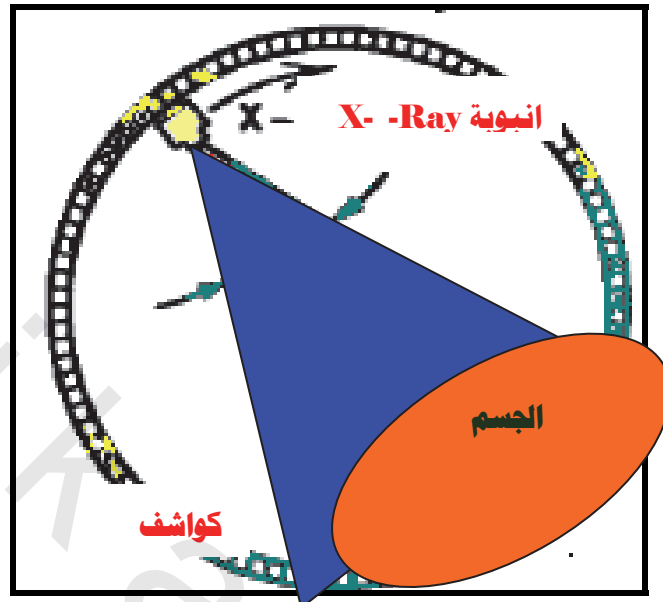
الانتقالية (Translation – Rotation)

مجموعة الكواشف الدائرية لهذا الجيل لا تولد مرور حزمة ثابتة من المصدر لجميع الكواشف ولكنها تسمح لإشارة كل كاشف بالتغيير وتحويلها الى كمية قياسية خلال كل دورة من التصوير . ان الصورة في هذا النوع تكون خالية من التشوّهات .

اهم مساويء هذا الجيل هي

- ١- الجرعة العالية التي يتلقاها المريض مقارنة مع الاجيال الاخرى .
- ٢- كلفة الجهاز كبيرة بسبب زيادة عدد الكواشف وبالتالي زيادة المنظومات الالكترونية.

شكل (٤-٨) يمثل الجيل الرابع للتصوير المقطعي المحوسب حركة دورية للأنبوب والكافش ثابت



#### ٥ - الجيل الخامس

يسمى هذا الجهاز جهاز التصوير المقطعي ذات المسح المتحرك لاعادة بناء الصورة Dynamic -scanner (DSR) (Spatial Re - constructor). ويعتبرهذا الجيل قيد الدراسة وهوآخر ما توصلت إليه الأبحاث من تطور ، وحتى الآن لم يتم استثماره في مجالات العمل المهني إنما يستخدم في مجالات بحثية فقط، توجد منظومة من هذا الجيل الآن في المركز الطبي مايو (Mayo Clinic) في أمريكا حيث يتكون من ١٤ أنبوب أشعة وكذلك من كواشف ثابتة وشاشة وميضية وكاميرا فديوية وقد استخدم تجربيا لدراسة فسلجة الحيوانات.وتمكن الحصول على ٢٤٠ صورقشرحة متتالية سماك كل شريحة ٩ .٠ ملم . ويمكن أن نحصل على الصور لهذا الجهاز العملاق الذي يزن عدة اطنان في ثانية واحدة.لم تصنع الجهاز بشكل تجاري لغلاء سعرة ولبروز مشاكل تقنية وكذلك فأن نوعية الصورة غير جيدة.

#### ٦ - تصاميم المستقبلية

تهدف تصاميم الاجيال المستقبلية لمنظومة التصوير المقطعي المحوسب الى تقليل الجرعة الاشعاعية ما امكن ومن هذه التصاميم هو تحريك مصدر الاشعة السينية او مجموعة الكواشف او كليهما او تحريك المريض نفسه . وتم التوصل كذلك الى امكانية تقليل زمن دورة

التصوير . ويستمر العمل في تطوير النظام الرياضي للحاسوب من خلال النظام العشري بحيث يمكن مشغل الحاسبة من اختيار اكثراً الشريح جودة من مجموعة كبيرة من الشرائح.

#### **٤ - مكونات جهاز التصوير المقطعي المحوسب**

يتكون جهاز التصوير المقطعي المحوسب من ثلاث منظومات أساسية هي المسند الدوار ، الحاسب وبرامجه ، ولوحة التشغيل والسيطرة. شكل (٨ - ٥).

##### **١ - أنبوبة الأشعة السينية :**

تطلب الأشعة السينية في التصوير المقطعي المحوسب بعض التقانات الحديثة المتقدمة الخاصة مثل القدرة الكهربائية العالية التي تتراوح بين ٢٠ - ١٠٠ واط . حركة المحرك بسرعة عالية لكي يتمكن الانود الدوار من تبديد الحرارة العالية المتولدة نتيجة اصطدام الالكترونات بالهدف . وبالرغم من ان قسم كبير من هذه الاجهزه يعمل في تيارات واطئة (اقل من ١٠٠ ملي امبير) ولكن القدرة التي يولدتها الجهاز عالية جداً حيث تصل حرارة الانود الى ٢ مليون وحدة حرارية (Hu) لذلك يتطلب وجود وحدة لتبريد الأنوب لكي يتحمل الجهد العالي الموضوع . ومن أهم الوسائل لتأمين التبريد استخدام مبادلات حرارية تحيط بالأنبوب مثل استخدام الزيت الذي يتم تمريره عبر خرطوم من باستطاعته تصريف حوالي 1000 وحدة حرارية بالدقيقة. عند التصوير فإن تيار الأشعة السينية يصل إلى ١٠٠ ملي امبير وعرض النبضة يتراوح بين ٥-١ ملي ثانية وتعدد تلك النبضات بمعدل ٦٠ هرتز

##### **٢ - منظومة الكواشف :**

الكافش هو المنظومة التي تسجل الاشعاع المؤين الساقط عليها، وتعتبر من اهم اجزاء منضومة اجهزة التصوير المقطعي. يقوم الكافش بتحويل الاشعة السينية الساقطة الى اشارة كهربائية يتم تضخيمها وتحويلها من معلومات تماثلية الى معلومات رقمية. تحتوي منظومة الكافش على مكبر اولي (Preamplifier) ومحول المعلومات التماثلية الى معلومات رقمية (ADC). المكونات الالكترونية للكافش السبب الرئيسي في توليد الضوضاء وتكون اقل من التذبذب الاحصائي في شدة الاشعة السينية الناتجة عن ضوضاء الفوتونات. الكافش الشائعة المستخدمة في التصوير المقطعي المحوسب تكون على نوعين القديمة هي الكافش الوميضية والحديثة الكافش الغازية:

شكل (٨ - ٥) مكونات جهاز التصوير المقطعي المحوسب.



#### اولاً: الكواشف الوميضية

ت تكون الكواشف الوميضية المستخدمة سابقاً من بلورة ايديد الصوديوم (NaI) وأنبوب مضخم ضوئي ومجموعتهما الالكترونية . مثل هذه الكواشف لا يمكن تقريبها مع بعضها حيث تكون الفاصل بينهما كبيرة نسبياً ويحتاج كل مضخم ضوئي الى مجهز للقدرة . تم تطوير هذه الكواشف واستخدمت اخيراً بشكل بلورة تصنع من ايديد السيرزيوم (CSI) او تكتسات الكادميوم (CdWO<sub>4</sub>) والتي تستخدم الان بشكل واسع . ان الفاصلة بين كاشف وأخر تتغير حسب التصميم حيث تكون بعض التصاميم من ١ - ٨ كاشف لكل سم او خمسة كواشف لكل درجة ولان الفاصلة بين كاشف وأخر كبيرة نسبياً لذلك فأن المساحة الكلية التي تحتاجها الكواشف الوميضية حوالي ٥٥٪ اي ان حوالي ٥٥٪ من الاشعة السينية الساقطة على المريض سوف تسهم في عملية زيادة الجرعة ولكنها لاتسهم في تكوين الصورة .

## **ثانياً: الكواشف الغازية :-**

تستخدم الآن بشكل واسع الكواشف الغازية في اجهزة التصوير المقطعي المحوسب وذلك لرخص ثمنها مقارنة بالكواشف الوميضية غالبة الثمن، وذلك لاحتوائها كثير من الاجزاء الالكترونية الملحة بها وتكون الاشارة الخارجية من الكواشف الوميضية كبيرة لذلك لاتحتاج الى تكبير . بينما الاشارة الخارجية من الكواشف الغازية تحتاج الى تكبير لأنها ضعيفة . تكون الكواشف الغازية من حجرة معدنية كبيرة تحتوي على مجموعة من الحواجز بحيث ان الفاصلة بين حاجز وأخر حوالي (١) ملم . هذه الحاجز تشبه الصفائح الرصاصية للشبكة تقسم هذه الحاجز حجرة الكاشف الغازي الى عدد كبير من الكواشف الصغيرة والتي يعمل كل منها بشكل منفصل عن الكاشف الآخر .

ان مجموعة الكواشف الغازية تغلق بشكل محكم وتملاً تحت الضغط بغاز خامل ذات عدد ذري كبير مثل الزنون او خليط من غاز(الزنون - كريتون) وعند مرور الاشعاع خلال الحجم الحساس (الغاز) للكاشف فأن الغاز يتآكل ويولد ايونات موجبة واخرى سالبة بشكل يناسب مع كمية الاشعاع الممتص. كفاءة هذه الكواشف قليلة نسبياً وتصل الى ٤٥% ولكن امكانية تقليل عدد هذه الفوائل بين الكواشف يجعل الكفاءة لا تختلف كثيراً عن الكواشف الوميضية . وجميع الخواص الاخرى لهذه الكواشف مقاربة لخواص الكواشف الوميضية غالبة الثمن. من مساوىء هذه العدادات هو صعوبة تصنيع مصفوفات متعددة من الكواشف ولكن تصبيع مصفوفة واحدة يكون سهلاً. ان جميع المصفوفات المتعددة الكواشف التي صنعت سابقاً او حالياً صنعت من بلورات سيراميكية وميضية.

## **٣ - مولد الفولطية العالية:-**

جميع اجهزة التصوير المقطعي المحوسب تعمل بفولتية ذات ثلاث اطوار والتي تقوم بتشغيل محرك الانود السريع وكذلك القدرة التي يحتاجها الجهاز في عملية توليد النبضة . مثل هذا المولد يوضع داخل المسند او القرص الدوار للمسند وبذلك لاتحتاج الى لف (تدوير) اسلاك التوصيل .

## **٤ - منضدة المريض وعملية التثبيت .**

تصنع منضدة المريض من مواد ذات عدد ذري واطئ لكي لا تتدخل مع الاشعة السينية النافذة او الساقطة على المنضدة وصورة المريض . ان المناضد الحديثة تصنع من الواح من الكاربون ذات

العدد الذي القليل وتكون غير سميكه وقوية . هذه المنضدة يجب تحريكها بواسطة محرك بشكل دقيق وهادئ بحيث يمكن الحصول على موقع دقيق للجزء المراد فحصه . لأن الموقع اذا لم يكن دقيقاً فإن ذلك يؤدي الى احتمال تصوير المقطع مرئين والتعرض الى جرعة عالية بدون مبرر او لا يصور ذلك الجزء . ويمكن تحريك هذه المنضدة اوتوماتيكياً من لوحة السيطرة بحيث تقلل من دخول المصور الى غرفة الفحص ما امكن وبذلك تقل الجرعة التي يتعرض لها المصور وتقلل زمن فحص المريض . وتحتوي المنضدة على معدات لتنشيط حركاته. بالإضافة الى تهيئة الموقع المريح لفحص المريض .

#### ٥ - منظومة الجمع الدوار (القنطرة) (Gantry assembly)

تتضمن منظومة المجمع الدوار لانبوبة الاشعة السينية ، مجموعة الكواشف ، مولد الفولتية العالي ، منضدة المريض والسيطرة على حركاتها او التثبيت الميكانيكي لكل هذه الاجزاء . هذه الاجزاء تستقبل الاوامر الالكترونية من لوحة السيطرة وتغذي المعلومات الى حاسب لغرض توليد الصور والتحليل شكل (٦ - ٨) .

#### ٦ - الحاسوب

تعتمد دقة ونوعية الصورة في اجهزة التصوير المقطعي المحوسب على قدرة الحاسوب على تحليل الاشارات من الكواشف الاشعاعية . يقوم الحاسب بحل اكثرا من ٣٠،٠٠٠ معادلة رياضية بشكل متوالي لذلك تحتاج هذه الاجهزة الى حاسب له قدرة كبيرة على تخزن المعلومات . يحتوي الحاسب على المعالج الدقيق (microprocessor) والذاكرة الاولية وهذا المعالج يحدد الزمن بين نهاية التصوير وظهور الصورة الذي يكون غالباً اقل من ٣٠ ثانية ويسمي بزمن البناء (reconstruction) وتحدد كفاءة الجهاز بهذا الزمن . تستخدم بعض اجهزة التصوير المقطعي المحوسب مجموعة من المعالجات بدلاً من معالج دقيق واحد لغرض بناء الصورة . هذه المجموعة من المعالجات تقوم باستخدام النتائج لمعادلات كثيرة في ان واحد لذلك فأنها اسرع من المعالج الدقيق وبذلك يصل بناء الصورة الى اقل من ثانية .

#### ٧ - لوحة السيطرة control consol

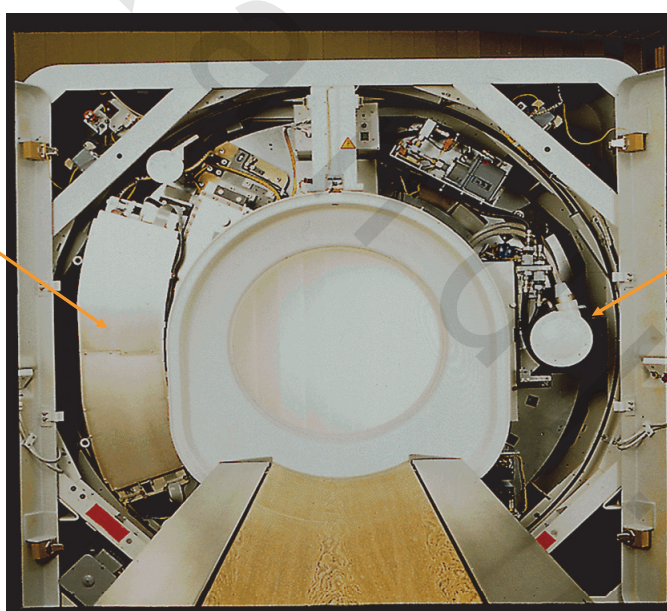
معظم اجهزة التصوير المقطعي المحوسب تحتوي على لوحتين للسيطرة احدهما للفنيين الذين يتحكمون بتشغيل المنظومة والأخرى للطبيب الذي يعرض الصورة ويغير حجمها وتبينها

وطريقة رؤيتها . تتضمن لوحة سيطرة الفنين الاجهزه والمقاييس لغرض اختيار العوامل المناسبة للفحص الاشعاعي ، التحرير الميكانيكي للمسند الدوار او منضدة المريض ، والأوامر للحاسوب . لغرض بناء الصورة وتحويلها الى الطبيب . ومن هذه المقاييس هو مقياس ذروة للفولتيه  $kV_p$  لجهاز التصوير الطبقي المحوسب والذي يتراوح بين ٥٠ - ٢٠٠ kV وقياس التيار والذي يتراوح بين ٢٠ - ٥٠ ملي امبير في حالة عمل الجهاز اعتماديا . ويصل الى بضع مئات من الامبيرات في حالة استخدام حزمة نبضية . وكذلك جهاز التحديد والسيطرة على زمن القياس والذي يتراوح بين ١ - ٥ ثانية في حالة المسح السريع ويمكن كذلك السيطرة على سمك الشريحة للنسيج المراد تصويره . و يتراوح سمك الشريحة بين ١ - ١٥ ملم .

### شكل ٨ - ٦ مكونات المسند الدوار

**مجموعة الكاشف والمسدادات**

**انبوبة الاشعة السينية**



يتم تحديد التسديد اوتوماتيكياً لغرض اختيار سمك الشريحة المراد تصويرها . يمكن للمصور الشعاعي تسجيل معلومات عن المريض على لوحة تلفازيه للعرض مثل اسم المرض ، رقمه ، الجنس ، الوزن ، رقم المسح ، موضع المنضدة ..... الخ

ذلك فأن العرض يستخدم للاحظة الصورة الناتجة قبل تحويلها الى القرص الصلب في الحاسبة وتحويلها الى شاشة العرض الخاصة بالطبيب وتكون هذه الشاشة مهمة عندما يكون هناك زخم في العمل حيث تعرض الصورة على الطبيب الاخصائي بدون التداخل مع فحص المريض حيث يستطيع الاخصائي استدعاء الصورة السابقة والتعامل معها للحصول على المعلومات المطلوبة او لغرض ضبط السطوع والتباين ، التكبير ، المنطقه المراد فحصها.

تخزن الصورة الإشعاعية في التصوير المقطعي المحوسب اما على قرص من floppy disk او على شريط مغناطيسي ويستخدم كل منها لحفظ صور عدة للمرضى ويمكن استدعاء هذه الصور في اي وقت او تسجيلها على فلم باستخدام كاميرا ليزرية . وهذه الكاميرا تستخدم افلام ابعادها  $20 \times 25$  سم ليطبع صورا تتراوح بين ٦-٢ صورة على الفلم او يمكن طبع عدة صور على الفلم الواحد وتكون الصورة صغيرة . وهناك افلام ابعادها ٤٠-٣٢ سم تستخدم لطبع صور اكثـر .

## ٨ - انواع أجهزة التصوير المقطعي

هناك نوعين رئيسيين لأجهزة التصوير المقطعي المحوري المحوسب من حيث فكرة العمل وهي:

### ١- جهاز التصوير المقطعي المحوري (Computed Axial Tomography)

في هذه الاجهزة يتم مسح سماكة قليل من العضو المراد تصويره في جسم الإنسان بشكل مقطعي بواسطة حزمة ضيقة من الأشعة السينية. يقاس ويسجل التوهين الناتج عن مرور الأشعة خلال جسم المريض بواسطة كاشف إشعاعي، وبعد عمليات المسح لعدة مرات يتم الحصول على صور مساقط اجزاء النسيج بحسب زوايا التعرض . تتم عملية بناء الصورة من خلال تسجيل ومعالجة إسقاطاتها أو إعادة بناء الصورة التي تم مسحها، تخزن و تعالج صورة المساقط بواسطة برامج معدة خصيصا لها هذا الغرض وتكون للنسيج صورة ببعدين حيث يمكن استخدام الألوان لإظهار الكثافات المختلفة.

### ٢- جهاز التصوير المقطعي اللوبي (Spiral CT).

تم تطوير هذه الاجهزة في اوائل التسعينيات من قبل الباحث ولـي كالندر. عند دوران جهاز الاشعة السينية دورة كاملة تتولد صورة لشريحة واحدة من النسيج، وعندما يكتمل مسح الشريحة تتحرك المنضدة لتهيئ المريض لتصوير الشريحة التالية وفي هذه الفترة تقوم منظومة المصدر - كاشف بعكس اتجاهها لتجنب تشابك االسلك الكهربائية. يمسح نسيج المريض المراد تصويره

مسحا سريعا عن طريق الدوران المستمر لأنبوب الأشعة بينما يبقى المريض مستلقيا على المنضدة والتي تتحرك بسرعة ثابتة مما يسمح لحزمة الأشعة بالمسح بشكل لولبي و يتم معالجة المعلومات الأولية بواسطة مصفوفتين من الكواشف. من ميزات هذا النوع:

١ - استخداماته في حالات تصوير الأطفال وذلك للسرعة الفائقة التي يتمتع بها حيث يمكن تصوير حجم كبير بزمن يتراوح بين ٢٠ - ٦٠ ثانية وهو زمن قصير يكون من السهل على المريض حبس نفسه وعدم الحركة.

ب - تسمح هذه التقنية بتعزيز تباين الصورة من خلال تتبع المواد الملونة التي يحقن بها المريض وبيان احتمالية وصولها إلى العضو المراد فحصه بسرعة.

ت - يفضل استخدام هذا النوع من الاجهزه للحصول على المعلومات بسرعة في حالات الطوارئ التي يراد تشخيص الحالة بأقصى سرعة ممكنة.

ح - التفريقي والتباين للصورة عالي جدا ويمكن الحصول على صورة ثلاثية الابعاد (3D image

### ٣- جهاز التصوير المقطعي متعدد الشرائح (Multislice CT)

اساس عمله نفس اساس عمل الجهاز المقطعي الحلواني ولكن يحتوي على اكثر من حلقة من كواشف الحالة الصلبة والتي تستطيع اكمال دورة واحدة خلال ثانية واحدة. استخدمت في السنوات الاخيرة ٤، ١٦، ٣٢، ٤٠ و ٦٠ حلقة من الكواشف. وتم تطوير هذه الاجهزه خلال السنوات الماضية ودخلت الى الخدمة عام ٢٠٠٧ اجهزة تجز ثلات دورات في الثانية الواحدة وذلك يمكن الحصول على معلومات لحجم كبير من الانسجة بزمن قصير.

### ٤- جهاز التصوير المقطعي ثنائي الصور (Dual Source CT)

استطاعت شركة سيمنس انتاج جهاز تصوير مقطعي يحتوي جهازين للاشعة السينية ومجموعة مزدوجة من ٦٤ شريحة من الكواشف. لهذه الاجهزه القدرة على زيادة تفريغ الصور نتيجة لتقليل زاوية الدوران للحصول على صورة كاملة. لذلك يمكن لهذه الاجهزه دراسة الاوعية القلبية بدون استخدام الادوية المقللة لمعدل ضربات القلب، ويمكن تصوير القلب في حالة الانقباض. وجود حزمتين للاشعة السينية يجعل من الممكن استخدام طاقتين مختلفتين للاشعة السينية، وبذلك يمكن تقدير معدل العدد الذري في العناصر المستقلة للصورة (Voxel) وكذلك مقدار التوهين الكلي. لذلك يمكن التمييز بين الكالسيوم في العظام او في الاوردة المريضة مثلا

باستخدام اليود كمادة لتعزيز التباين . تستطيع هذه الاجهزة تحسين نوعية الصورة وتشخيص الاورام بسهولة.

#### ٥- جهاز التصوير المقطعي ذات مسح الحزمة المخروطي

يتم مسح الاعضاء باستخدام حزمة مخروطية بدلا من الحزمة المروحية من اجل تصوير العضو الكلي بدلا من الشرائح في زمن قصير لكن المشكلة في هكذا مسح هو ان تفاصيل العضو تسقط على الكواشف بزوايا مختلفة تعتمد على ابعادها عن المستوى المركزي وبذلك تكون حافات الصور مشوهة.

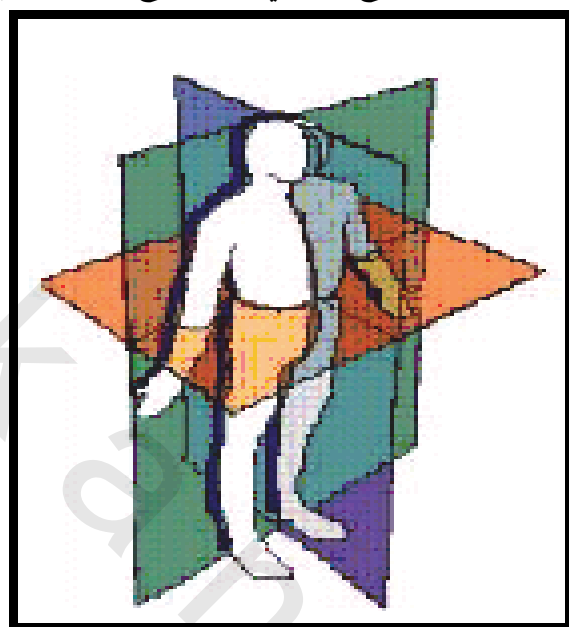
#### ٦ - مبدأ عمل التصوير المقطعي المحوري

يعتبر جهاز التصوير المقطعي المحوسبي(CT) من الأجهزة التي اساس عملها يعتمد على توجيه حزمة من الأشعة السينية التي تدور حول جسم المريض الذي يراد تصويره، فتمسح بذلك مقطعاً، تتحدد سماكة المقطع الذي يعتمد على عرض الحزمة كما في الشكل (٨-٧).

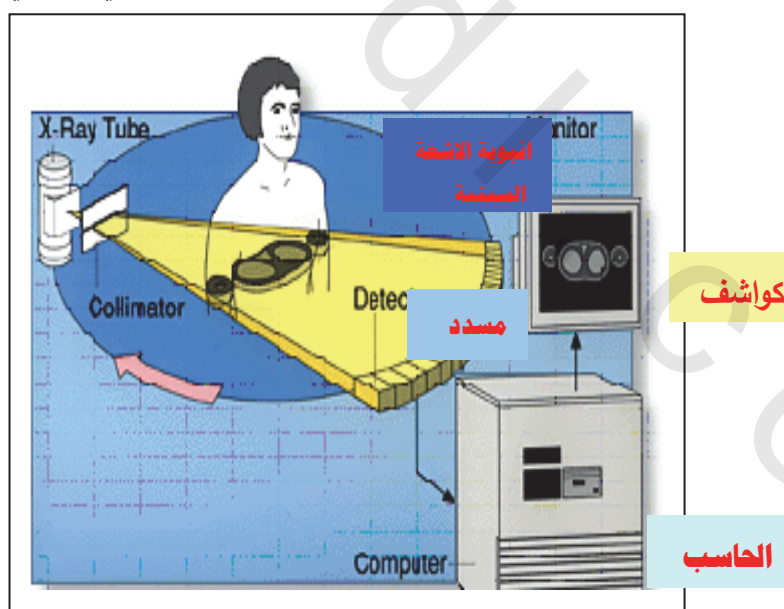
يسمح الكاشف الإلكتروني للأنبوب بقياس التوهين الذي طرأ على حزمة الأشعة على طول مسارها وفي كل موقع فراغي، وتحفظ هذه القياسات في ذاكرة مغناطيسية. وفي نهاية حركة المسح تكون الذاكرة قد سجلت عدداً كبيراً من القياسات المتقطعة فيما بينها، ونتيجة لذلك يسجل كل جزء من عناصر النسيج بعنصر من خلايا الصورة التي تسمى بيكسل(Pixel) والذي يمثل معامل توهين الأشعة السينية فيه أو كثافته الإشعاعية.

والشكل (8-8) يوضح مسار حزمة الأشعة (أنبوب الأشعة، المحدد الأولي، الجسم المراد تصويره، المحدد الثاني، الكاشف) وإلكترونيات القياس والمعالجة وإعادة بناء الصورة، شاشة الإظهار والتحكم بالصورة. عندما يدور أنبوب الأشعة السينية والكاشف  $360^\circ$  ، تتولد صورة لكل شريحة من النسيج. وتحدد حزمة الأشعة السينية باستعمال مسدود رصاصي سمكة ١٠-١٢ ملم يوضع قريباً من فتحة الأنبوة. في كل دورة تتكون أشكال جانبية(Profile) للأشعة السينية النافذة من جسم المريض بعد توهينها حيث يصل عدد الأشكال إلى ١٠٠٠ شكل في الدورة الواحدة يعاد بناء هذه الأشكال بواسطة ٧٠٠ قناة (Channels)

شكل (٧-٨) المقطع العرضي المتعامد مع المحور الطولي الكبير للجسم



الشكل (٨ - ٨) تكون الصورة في التصوير الإشعاعي المقطعي



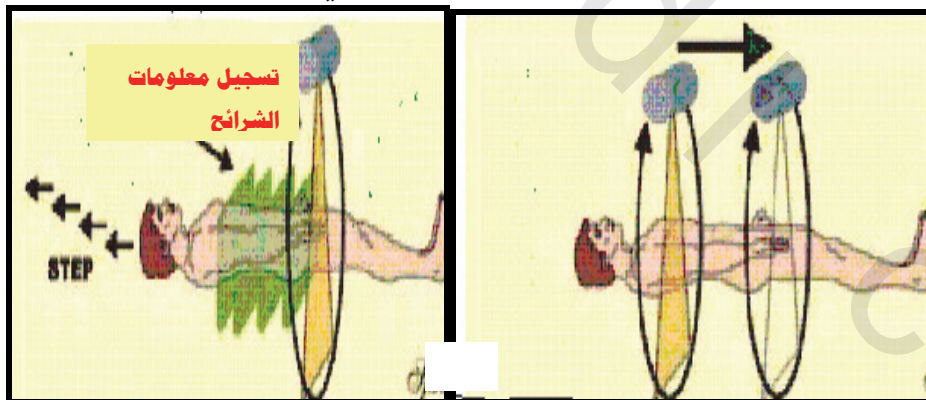
٧-٨ عملية التصوير بجهاز **CT**

تم عملية التصوير المقطعي من خلال قيام الفني المتخصص بأخذ عدة شرائح للنسيج المراد تشخيصه فمثلاً عند تصوير مقطع للرأس تحتاج الصورة من 10-12 شريحة وكل من هذه الشرائح ذات سمك 5mm، يمسح المريض مرة واحدة لكل شريحة، حيث تمر الأشعة خلال المريض وتجمع المعلومات. بين كل عملية مسح تقوم المنضدة التي تحمل المريض بإدخاله وتحريكه أفقياً وبشكل تكون فيه المسافة مكافئة لسمك الشريحة كما في الشكل (٩-٨).

يتم وضع المريض على المنضدة المزودة بأداة التحكم برفعه وتحريكه إلى المكان المخصص له وهي فتحة القنطرة ويببدأ التصوير على شكل شرائح متتالية، يتحكم الحاسوب بالنظام من خلال وحدة التحكم التي تتالف من لوحة مفاتيح إدخال الأوامر وشاشة عرض من أجل القراءات المعطيات ومعالجة ورؤية الصورة ويقوم البرنامج بالخطوات التالية:

١. تشغيل جهاز الأشعة السينية، جمع المعلومات عن الأشعة السينية النافذة من جسم المريض .
٢. معالجة المعلومات في الصورة وتخزين الصورة على القرص الصلب للحاسوب .
٣. إظهار الصورة على الشاشة المرئية .

**شكل (٩-٨) يوضح التصوير المقطعي**



عندما تتولد الأشعة السينية بناء على أوامر الحاسوب يقوم محرك كهربائي بتدوير أنبوبة الأشعة السينية حول المريض، تتوهن الأشعة السينية التي تمر خلال المريض بنسب مختلفة حسب العدد الذي للنسيج المارة خلاة. يتم قياس كثافة النسيج بشكل مستمر بواسطة مجموعة من الكواشف التي تحيط بالمريض من جميع الجهات مكونة حلقة دائرة من 1200 كاشف (يختلف

باختلاف نوع النظام ونوع الجيل الذي ينتمي إليه الجهاز) حيث يتم نقل معلومات المسح الأولى إلى نظام استعادة الصورة الذي يحول معلومات المسح الأولى إلى معطيات صورة رقمية، ومن ثم يقوم الحاسب بتخزين الصورة على القرص الصلب ويتم التحكم بتخزين 500-200 صورة تظهر على الشاشة المرئية و تعالج الصورة الظاهرة بعدة طرق متضمنة مساحة وطول قياسات المقاطع وغيرها من المعالجات.

عندما يمتلأ القرص الصلب فإن الصورة الأقدم والأقل استخداماً تنقل إلى الشريط المغناطيسي من أجل التخزين النهائي. تسمى هذه المرحلة أرشفة الصورة ويمكن أن تتم إعادة استرجاع الصورة من القرص عن الحاجة.

#### ٨-٨ مراحل تكون الصورة :

##### ١ - اعادة بناء الصور

عند مرور الأشعة السينية احادية الطاقة خلال انسجة الجسم المكونة من اعداد ذرية مختلفة لها معاملات امتصاص خطية حسب نوع النسيج، حيث يتكون نسج جسم الإنسان من (هواء، دم ، عظم ، عضلات) ، و لكل نوع من تلك الانسجة معامل توهين خطي خاص وموضح في الجدول(٨ - ١) . ويمكن حساب كمية الفوتونات النافذة من انسجة الجسم المختلفة بمعرفة الفوتونات الداخلة وكذلك معامل الامتصاص الخطي الكلي، من العلاقة التالية:-

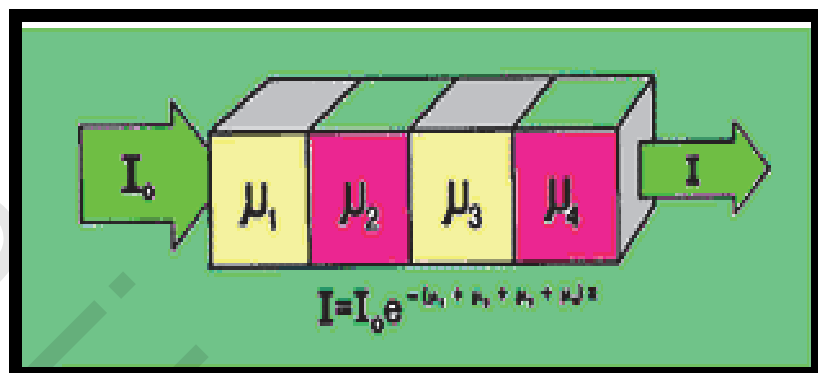
$$I = I_0 \exp(-\mu x) \quad --- 1$$

حيث يمثل  $I_0$  عدد الفوتونات الابتدائي،  $I$  يمثل عدد الفوتونات المنبعثة ،  $x$  سمك النسيج قيد الفحص ،  $\mu$  معامل الامتصاص الخطي للطاقة.

الجدول(٨ - ١) معامل الامتصاص الخطي للطاقة لانسجة الجسم المختلفة.

$I/I_0$	معامل الامتصاص الخطي	نوع النسيج
1.0	0.0	هواء $\mu$
0.837	$0.48 \text{ cm}^{-1}$	دم $\mu$
0.835	$0.18 \text{ cm}^{-1}$	عضل $\mu$
0.619	$0.178 \text{ cm}^{-1}$	عظم $\mu$

شكل (٨-١) العناصر المستقلة للصورة (Voxel)



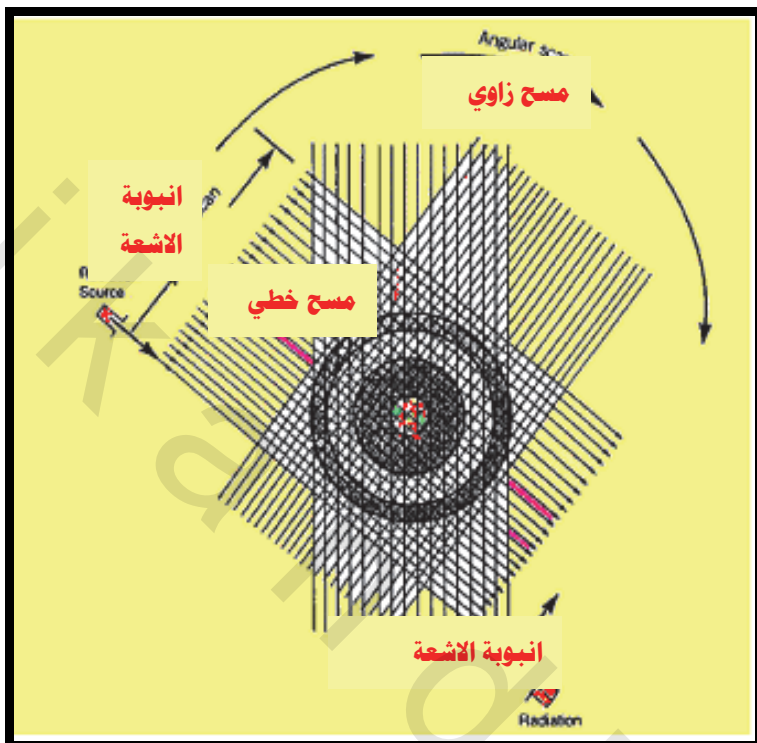
$$P(x) = \sum_1^4 \mu_i \cdots - 3$$

$$P(x) = \mu_{i1} + \mu_{i2} + \mu_{i3} + \dots + \mu_m$$

يعتمد التباين في التشخيص المقطعي CT بين نسيج وآخر على معامل التوهين الخطي للمادة المراد تصويرها. حيث يقوم الحاسب بحساب معامل التوهين الخطي لكل نسيج يساهم في توهين الحزمة وعلى هذا الاساس يتم إعادة بناء صورة المقطع الذي مسحته الحزمة رياضياً. تقسم الطبقات المقطعة للجسم في التصوير المقطعي المحوري إلى عدة اجزاء صغيرة جداً وكل جزء من هذه الاجزاء تحدد بعده يتناسب مع معامل التوهين الكثلي لحزمة الاشعة السينية ، تدعى الاجزاء المستقلة عناصر حجم (Voxel) شكل (٨ - ١٠) تحدد عناصر الحجم المستقلة، درجة الامتصاص، سماكة النسيج، تركيب الاجزاء الصغيرة، ونوعية الحزمة حسب المعادلات في اعلاة. اما خلايا الصورة فتسمى بيكسل (Pixel). الصورة الإشعاعية التقليدية يمكن الحصول عليها مباشرة من خلال سقوط الاشعة السينية مباشرة على مستقبل الصورة (الفلم) . اما في حالة التصوير المقطعي المحوسب فأن صورة الاشعة السينية تخزن بشكل صور الكترونية يمكن عرضها بشكل مضغوطة من الكثافات الضوئية والتي تحتوي على مجموعة من الخلايا (البيكسل) تتكون من  $512 \times 512$  مصفوفة اي من ٤٤٢٦٢ خلية معلومات وان المعلومات الحسابية على كل خلية هي رقم المقطع (CT number) او تسمى وحدة هاونسفيلد . إن البكسل عبارة عن معلومات للشريحة المصورة على خلية لها بعدين اما المعلومات الحجمية الثلاثية الابعاد للشريحة المصورة فتسمى فوكسل (voxel) والتي تحصل عليها من حاصل

ضرب مساحة البيكسل وسمك الشريحة للمسح ويتم الحصول عليها من خلال مسح الحزمة للنسيج مسحاً أفقياً وخطياً شكل (٨ - ١١).

الشكل (٨ - ١١) يوضح توازي للحزم الإشعاعية وزاوية المسح



## ٨ - ٩. عدد او رقم المقطع (CT number):

التصوير المقطعي وسيلة لقياس وحساب لمعامل التوهين الخطى  $\mu(x,y)$  موقعاً . ولكن لا يمكن استخدام معامل التوهين الخطى للمقارنة بين الصور التي نحصل عليها خلال المسح الصورى بفولطيات وترشيح مختلف. لذلك فان معامل التوهين المقاس يسمى مقدار التصوير المقطعي (CT value) نسبة الى التوهين في الماء. وسمي هذا العدد بعدد CT ووحداته هاونسفيلد (HU) لتخليد مكتشف تقنية التصوير المقطعي هاونسفيلد. عدد هاونسفيلد (HU) للماء او الانسجة المكافئة للماء يساوى صفر (من التعريف) وللهواء -١٠٠٠ HU. انسجة الرئتين والشحوم يكون عدد CT سالب وذلك لقلة الكثافة والذي يؤدي الى نقصان التوهين ( $\mu_{lung} < \mu_{water}$ ) اما بالنسبة للعظام والتكتلات فان كثافتها عالية وبالتالي

يكون عدد CT كبيراً ويصل إلى + ٢٠٠٠ HU وهذا العدد يعتمد على طاقة الأشعة السينية بشكل كبير مقارنة بالماء. إن عدد CT يتراوح بين -١٠٢٤ و + ٣٠٧١ HU لكل بيكسيل . عدد CT مقاييس لكثافة النسيج وعددة الذري وهذا ناتج من العلاقة بين معامل التوهين الخطى و معامل التوهين الكثلى

$$\mu = (\mu / \rho) (E, Z) \rho$$

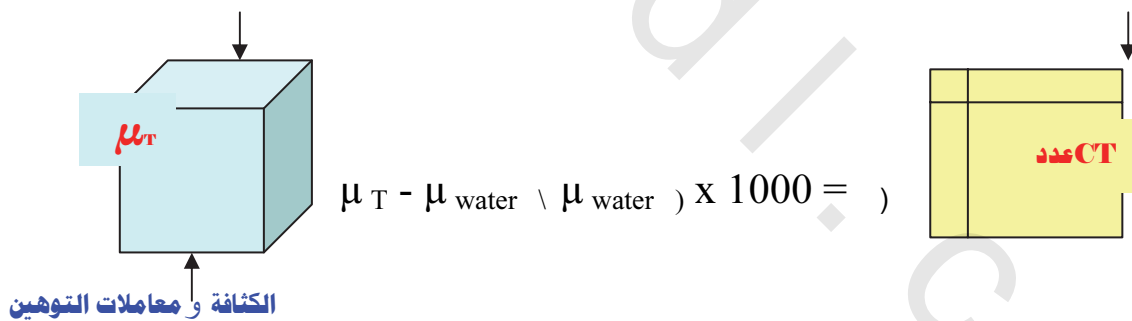
المبدأ الأساسي للتصوير بتقانة CT هو إعادة البناء الداخلي للجسم المراد تصويره باخذ صورة مقطعيه بعدد كافي من الإسقاطات. تستعمل أجهزة التصوير المقطعي في الوقت الحاضر كلا التقنيتين (دوران - دوران و ثبات). جميع أجهزة التصوير المقطعي تأخذ معاملات التوهين الخطى بالاعتماد على (CT(Number) و يعرف عدد CT لعنصر صورة ذو معامل توهين  $\mu_T$  كما يلى:

$$CT(Numbers) = K (\mu_T - \mu_{water} / \mu_{water})$$

حيث ان المقدار الثابت K لمعظم أجهزة التصوير الطبقي المحوري تساوى 1000. شكل (٨ -

(١٢)

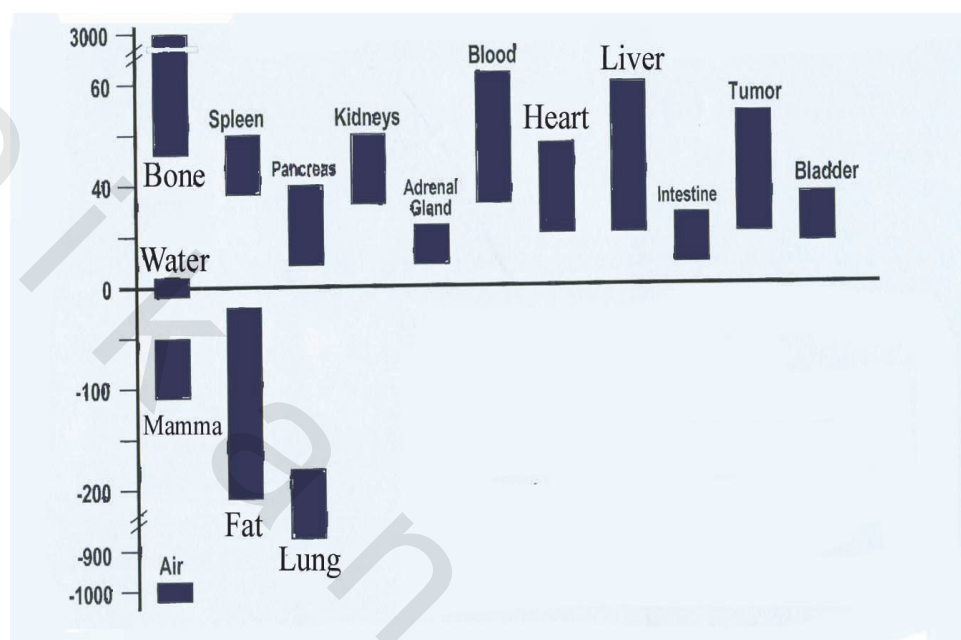
الشكل (٨ - ١٢) يوضح معنى عدد الـ CT



تقاس أرقام (CT) المميزة لبعض المواد بوحدة هاونسفيلد ويتم اشتراكها بمقارنة معامل التوهين الخطى لكل عنصر Pixel مع معامل التوهين الخطى للماء. يوضح الجدول (٨ - ٢) والشكل (٨ - ١٣)

العلاقة بين  $\mu$  ورقم الـ CT لانسجة الجسم المختلفة.

الشكل(٨ - ١٣) رقم التصوير المقطعي CT number لانسجة مختلفة



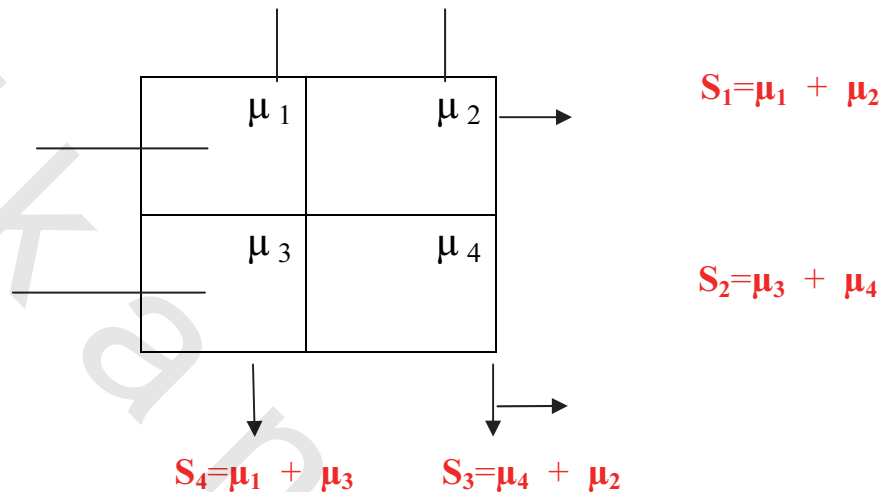
الجدول(٨ - ٢) العلاقة بين  $\mu$  ورقم الـ CT لانسجة الجسم المختلفة.

معامل التوهين الخطى $(\mu \text{ cm}^{-1})$	رقم CT Number(HU)	نوع النسيج
<b>0.38</b>	<b>808</b>	<b>العظم</b>
<b>0.21</b>	<b>0</b>	<b>الماء</b>
<b>0.20</b>	<b>-48</b>	<b>العضل</b>
<b>0.18</b>	<b>-142</b>	<b>الدهن</b>
<b>0.0</b>	<b>-1000</b>	<b>الهواء</b>

٨-١٠ إعادة بناء الصورة (Reconstruction).

ابسط انواع الصور في التصوير المقطعي تتكون من مصفوفة تحتوي على ٤ وحدات من خلايا الصورة(البكسل) أي المصفوفة  $(2 \times 2)$  وهي تمثل قياس مزدوج لمسقطين. يمكن حل هذه المصفوفة باستخدام اربع دلات تحتوي على اربع قيم مجهولة ويقوم الحاسب بحله ببساطة شكل  $(14 - 8)$ . في حالة المصفوفة  $(3 \times 3)$  فان عدد القيم المجهولة تساوي ٩ والتي يمكن الحصول بعد حلها على ١٢ قيمة ،هذه العملية تسمى باعادة بناء الصورة الجبرى (Algebraic Reconstruction والتي استخدمت في الاجيال الاولى للتصوير المقطعي المحسوب .

**الشكل (١٤-٨) حساب الصور المقطعة**



تكون المعالجة الرياضية لهذه الطريقة بدائية وذلك لتكرار الحسابات في كل خطوة لغرض تحسين الصورة .اما في الوقت الحاضر فتستخدم تقنية التفاف المساقط العكسية (-onvolution) Backprojection تضمن الخطوة الاولى في بناء الصورة وجود مصفوفة خالية من الصورة (قيمة بدائية = صفر)، وبعدها تضاف جميع قيم المساقط الخلفية لبناء الصورة في ذاكرة الكمبيوتر .المعلومات التفصيلية تظهر بشكل مخطط للتوهين الحاصل للاشعة السينية المارة خلال الانسجة المختلفة للعضو وتكون الصورة غير واضحة الحافات ولا تكون كافية لتشخيص الانسجة المعقدة .وللحصول على صور واضحة المعالم فان كل مسقط يلتف قبل المسقط الخلفي بدالة رياضية تسمى الالتفاف الجوهري ((Convolution Kernel)) يعاد بناء الصورة من قيم الالتفاف الجوهري بالإضافة لشكل التوهين الحاصل للاشعة السينية،تعتبر هذه الحالة عملية ترشيح كبيرة (High pass filter) وبذلك تولد صورة واضحة المعالم . توجد على لوحة السيطرة مجموعة من المفاتيح التي تستعمل في عمليات بناء ومعالجة الصور والتي تتضمن

ماليي :

## ١. القيم العددية لمعاملات التوھین الكتلی:

عند وضع المؤشر على المنطقة التي يراد إجراء فحصها فإن معاملات التوھین سوف تظهر على شكل قيم عدديّة هي عبارة عن متوسط معاملات التوھین لمجموعة العناصر المضورة (Pixels).

## ٢ - طول الجسم ومساحته.

بالضغط على لوحة مفاتيح الإظهار فإننا نختار القياسات السطحية والخطية مثل طول ومساحة العضو المراد تصويره.

## ٣ - الملاحظات الهجائية العددية

تسمح هذه العملية بتصنيف أجزاء من الصورة وذلك من خلال وضع مفتاح معين ثم يرمز ويحدد ذلك المكان ويكتب عليه العبارات المطلوبة.

## ٤ - توضیح الصورة عن طريق التقریب والتبعید (Zoom).

خلال التصوير المقطعي لحقل معین من الانسجة قطرها ( $D_{FOM}$ ) فان مقدار التبعید او التقریب (Zoom) والذي يسمى معامل التبعید او التقریب (ZF) يعرض القيم على الشاشة وقد يكون واحد او اکبر من واحد حيث ان قطر الصورة بعد التکبیر ( $D_{FOV}$ ) والذي يعطى بالعلاقة التالية:

$$(D_{FOV}) = (D_{FOM}) \backslash (ZF)$$

وتكون الصورة بشكل مصفوفة ابعادها ( $N_{pixel} \times N_{pixel}$ ) والتي يمكن حساب حجم مصفوفتها من المعادلة

$$W_{pixel} = (D_{FOV}) \backslash (N_{pixel})$$

في الصورة العاديّة كل حجم لعنصر (Voxel) يعتبر عنصر صورة حجمي ، إن الصورة المقربة توضح أربع عناصر صورة في عنصر حجم واحد وذلك بتکبیر الصورة مرتين.

## ٥ - نافذتي التحكم قیم التوھین وعرض الصور:

يوجد عند مفاتيح الإظهار نافذتي الاولى تتحكم بالقيم العددية لمعاملات التوھین المظهرة كقيم متوسطة رمادية على الشاشة المرئية،والثانية تتحكم بالعرض لمجال المعاملات التي تتراوح من الأسود إلى البيض وبشكل نموذجي.

## ٦ - تعديل الصور بالحاسب:

يقوم الطبيب بعرض عدة شرائح من الانسجة تحت الفحص ويغير من تباينها ووضوحاً في نفس الوقت و يمكن للطبيب المتخصص تكوين صورة ثلاثة الأبعاد لذلك العضو المريض ويمكن تحويل تلك الصورة إلى الحاسوب المركزي للمستشفى أو تخزينها. ويمكن إظهار الصورة في التصوير المقطعي CT على شاشة تلفازية من أجل الرؤية الآلية و تسجيل على الفيلم من أجل المشاهدة اللاحقة والتخزين الدائم. تتم عملية المسح بإظهار مصفوفة الإظهار التي تتكون من إظهار 256 عنصر (512 x 512) رمادية، والأمر الثاني يتعلق بحجم العنصر ، فإذا تم إظهار الصورة كاملة سوف يكون لدينا عدد من عناصر المصفوفة المتشكلة في كل نقطة من المصفوفة على الشاشة. فعلى سبيل المثال إذا كان حجم العنصر 0.1 mm وبإضافة إلى ذلك اعتبرنا أن المجال النموذجي للمسح 40 Cm فان مجال المسح يحتوي على 4000 عنصر صورة في كل خط ويتم إظهار صورة على الشاشة بمقدار (512 x 512) عنصر وهذا يعطي عناصر محددة في كل عنصر من المصفوفة على الشاشة. يتم استخدام جهاز لإظهار الصورة الرقمية على الشاشة المرئية وهو الشاشة المرئية ومولد الرسوم المرئية.

## ٨ - الجرعة الإشعاعية في التصوير المقطعي المحوري

للغرض تقييم الجرعة الإشعاعية الناتجة عن فحص مجموعة من الشرائح او فحص حجم نسيج (Multiple Slice Average) MSAD )كان يستخدم ما يسمى معدل جرعة الشرائح المتعددة (Multiple Slice Average) MSAD) الذي يحدد عدد الشرائح والزيادة في مسح الصورة لفحص معين. استخدم بعد ذلك Dose المؤشر المهم للجرعة الممتصة في التصوير المقطعي المحوري يسمى معامل جرعة التصوير المقطعي ويرمز له CTDI وهو عبارة عن تكامل الجرعة (D(z) على طول الخط الموازي لمحور الدوران (Z) مقسوماً على سمك الشريحة T.

$$(1) CTDI = \frac{1}{T} \int_{-\infty}^{+\infty} D(z) dz$$

إذ تمثل  $D(z)$  الجرعة الإشعاعية كدالة للموقع (z) الواقع على المستقيم العمودي لمستوى المقطع (T) إذ (T) سمك الشريحة .

ولغرض تحديد بداية ونهاية التكامل نأخذ نصف طول شريط (TLD) أو نصف طول الحجم الحساس للكاشف (L)

$$(CTDI) = \frac{1}{T} \int_{-L/2}^{+L/2} D(z) dz \quad ..... (2)$$

ويمكن قياس معامل الجرعة(CTDI) عمليا باستخدام حجرة تأين رفيعة بطول فعال وقدره 100 mm

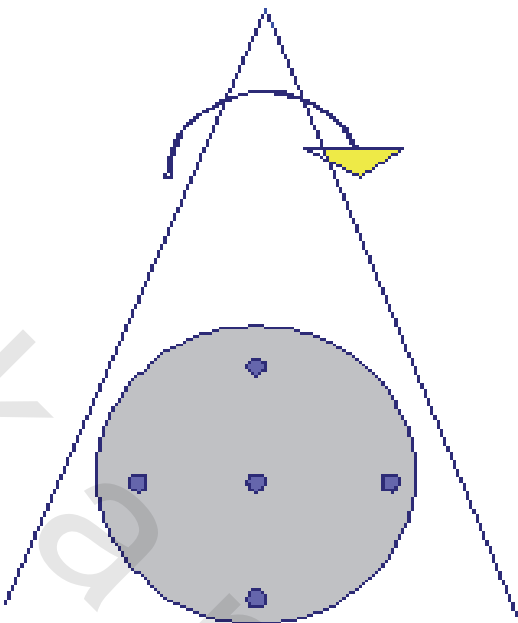
يمكن حساب الجرعة بطريقتين:

١ - من أهم الكميات التي يمكن قياسها لأجهزة التصوير المقطعي الإعتيادي أو الحلزوني هو معامل الجرعة (CTDI) في الهواء-الحر بشكل موازٍ مع محور دوران الماسح .( $CTDI_{w,air}$ ) وهي الجرعة الكلية الممتصة من قبل الشريحة ويمكن قياس هذه الجرعة باستخدام شبح خاص من البرسبكس إذ توضع أقراص (TLD) داخل الشبح والذي يتكون من جزئين أحدهما قطره ٣٢ سم والآخر ١٦ سم ، يستخدم الأول لقياس معامل الجرعة للجسم والثاني للرأس إذ تقيس الجرع بوضع حجرة التأين اواقراص TLD في موقعي الاول في مركز الشبح ( $CTDI_{100,c}$ ) أو في المحيط ( $CTDI_{100,p}$ )(شكل ٨ - ١٥).

ويمكن قياس (CTDI) في الهواء باستخدام عدة أقراص من (TLD) بشكل شريط طوله حوالي ١٢ ملم لقطع طوله يصل إلى ٥ ملم، و ٣٢ ملم لقطع طوله أكثر من ٥ ملم . بـ

- هناك طريقة أخرى استخدمت من قبل الدول الأوربية وذلك باستخدام حجرة تأين طول حجمها الحساس ١٠٠ ملم لقياس الجرعة في الهواء وهذه الجرعة يمكن معايرتها من خلال قسمتها على (mAs) والتي يرمز لها (C) للحصول على ما يسمى بجرعة المعايرة للشبح ( $nCTDI_w$ )

شكل ٨ - ١٥ من البرسبكس وفيه حفر مركبة وأخرى محيطية



$$CTDI_w = \frac{1}{C} \left( \frac{1}{3} CTDI_{100,c} + \frac{2}{3} CTDI_{100,p} \right)$$

حيث:

$CTDI_w$  معامل جرعة المقطع الموزونة للشبح لشريحة وحيدة في مسح

متتابع أو كل دوران في مسح حلزوني (mGy).

$C$ : التعرض (تيار الانبوب  $\times$  زمن التعرض) (mAs).

$CTDI_{100,p}$ : تمثل معدل مقدار القياسات في أربعة مواقع مختلفة حول

محيط الفانтом

ثم نجد معامل جرعة المقطع الموزونة (Weighted CTDI<sub>w</sub>) لكل دورة من دورات

جهاز التصوير المقطعي الحلزوني

$$CTDI_w = n \cdot CTDI_w \cdot C$$

واللحصول على الجرعة الكلية الطولية نستخدم العلاقة التالية :-

$$DLP = \sum_i nCTDI_w \cdot T \cdot N \cdot C$$

حيث:

حيث: DLP : جرعة طولية ل كامل الجسم (mGy/cm) شكل (١٦ - ٨)

i: تمثل عدد المسوحات المتسلسلة للفحص.

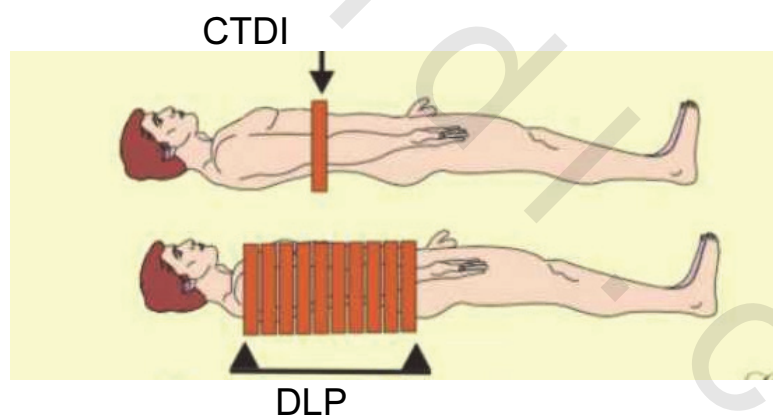
T سمك كل الشرائح (cm).

nCTDI<sub>w</sub>: الجرعة CTDI المرجحة في رأس أو جسم الفانтом لسمك شرائح مختلفة و فرق جهد مستخدم من أجل الفحص.

C: التعرض ويمثل تيار الأنابيب × زمن التعرض (mAs) من أجل شريحة وحيدة في مسح متتابع أو لكل دوران في مسح حلزوني

n عدد الشرائح.

### شكل (١٦ - ٨) DLP الجرعة لوحدة الطول لفحص كامل (mGy/Cm)



### ١٢- ٨ . العوامل المؤثرة على الجرعة الإشعاعية للمريض .

تعتبر الجرعة الممتصة التي يتلقاها المرضى الناجمة عن التصوير الإشعاعي لأجهزة CT من الجرع العالية والتي لها آثارها الخطيرة، وحسب دراسة أمريكية فإن نسبة الأطفال في الولايات المتحدة اللذين يموتون من السرطان الذي استحدثته التعرضات الإشعاعية الناتجة عن التصوير المقطعي المحوري تصل إلى حوالي ١٥٪. وتساهم إعادة التصوير لجسم المريض إلى زيادة تعرض المريض لجرع لا مبرر لها. تقع المسؤولية في إعادة التصوير على عاتق كلٍ من طبيب الأشعة وفني الأشعة فعلى سبيل المثال طبيب الأشعة يستطيع أن يقرر إذا كان المريض يحتاج إلى إجراء تصوير فعلاً أم لا وكذلك فإن فني الأشعة يتحتم عليه الاختيارات الصحيحة لكل من المتغيرات في لوحة السيطرة المناسبة للتصوير والتي تستطيع تقليل الجرعة. لقد بينت بعض الدراسات أنه يمكن تخفيض الجرعة التي يتلقاها المريض بنسب عالية تقدر حوالي 50٪ عن طريق الاستخدام الأمثل لمتغيرات لوحة السيطرة الصحيحة والمناسبة، ومن أهم العوامل التي يمكن أن تلعب دوراً في زيادة أو نقصان الجرعة الإشعاعية هي:

#### ١- تقليل التعرض: mAs

يعتبر التعرض mAs من أهم العوامل التي تؤثر في جرعة المرضى لأنّه يمثل عدد فوتونات الأشعة في وحدة الزمن. فعندما يتم التحكم بمقدار التعرض mAs وذلك بإيقاص قيمته فإن ذلك سيؤدي أيضاً إلى إيقاص الجرعة التي يمكن أن يتلقاها المريض . ولكن إيقاص زمن التعرض يعني تقليل زمن المسح للصورة لذا لا نستطيع أن نقوم بتحفيض في mA دون إيقاص في زمن التعرض والذي بدورة يؤدي إلى زيادة في الضوضاء وبالتالي نقصان في نوعية الصورة والجرعة. ولكن الحصول على صورة جيدة يتطلب تباين عالي في الصورة ويحصل ذلك عند تصوير شرائح رقيقة يتراوح سمكها بين 1 - 2 ملم أو تخفيض زمن التعرض بزيادة تيار الأنبوب. ونظرًا لقارب التراكيب النسيجية للجسم (كالعظم والهواء للصدر الحوض...) فتحفيض mA لا يشكل اثر كبير على جودة الصورة وخاصة إذا لم نغير زمن التعرض، في بعض الدراسات التي تم إجراءها وجد أن تخفيض قيمة mA من 50 إلى 25 mA ( ملي امبير) عند تصوير الأطفال لن يؤثر على جودة الصورة، وعندما تخفيض قيمة mA من 400 إلى 80 mA مع المحافظة على زمن التعرض لن يؤثر على جودة الصورة.

## **٢ - طول المسح:**

تزداد الجرعة الإشعاعية كلما زاد طول المسح ولكن هناك عوامل أخرى تتحكم بمقدار الجرعة مثل حجم المريض ونوعية وحجم النسج المراد فحصه . هذه العوامل تعتمد على مهارة وخبرة الطبيب والفني في تحديد منطقة المسح بدقة، لذا عليهم بذل الجهود لتقليل مناطق المسح والحصول على صورة جيدة و جرع إشعاعية قليلة ما امكن . وحديثاً تطور المسح وذلك باستخدام نوع من الماسحات السريعة ، بالإضافة إلى برامج حاسوبية تزود بالمعلومات عن المريض (وزنه وطوله، عمره ،...) حيث يقوم البرنامج بتحديد المتغيرات الواجب استخدامها لتحكم بطول المسح .

## **٣ - الفولطية المطبقة.**

زيادة الفولطية المطبقة يؤدي إلى زيادة سرعة الالكترونات التي تصطدم بمادة الهدف وتنتج عن ذلك زيادة في الكثافة الإشعاعية (عدد الفوتونات في وحدة الزمن) والذي يؤدي إلى زيادة الجرعة الإشعاعية. فعند زيادة  $kV$  بمقدار معين فإن ذلك يؤدي إلى زيادة الجرعة بعلاقة تختلف عن العلاقة بين  $mAs$  والجرعة الإشعاعية.

## **٤ - المسدد وسرعة المنضدة.**

يتم تحديد عرض الشريحة من خلال المسددات التي تحدد عرض الشريحة، فكلما كان عرض الشريحة كبيراً كانت الجرعة الإشعاعية كبيرة، وتعرف الخطوة (Pitch) بأنها الجزء من منضدة المريض الذي يتحرك داخل المسند مقاساً بوحدة المليمتر لدوران واحد بالنسبة إلى عرض الشريحة. فإذا كان زمن الخطوة كبيراً فإن الجرعة الإشعاعية ستكون كبيرة. وإذا كان زمن الدورة الواحدة ثانية واحدة لشريحة سمكها ١٠ ملم فأن ذلك يكفي ١٠ ملم/ثانية.

## **٨- ١٣- الجرع الإرشادية في التصوير الطبي الموري:**

وضع الاتحاد الأوروبي مستويات إرشادية للجرع وليس حدود هذه المستويات من أجل سلامة المرضى على المستوى المحلي أو العالمي وقد تم قياس هذه المستويات التي استخدمت كيرما الهواء باستخدام شبح من البرسبكس يسمى (PMMA) ذات القطر ١٦ سم لقياس جرع الرأس قطر ٣٢ سم لباقي أعضاء الجسم. ويوضح الجدول ٣-٨ و ٤-٨ هذه المستويات الإرشادية.

**DLP** الجدول ٨ - ٣ الجرعة الفعالة لبعض أعضاء الجسم التي يكافأ الجرعة

اجزاء الجسم	طول مكافئ الجرعة المسوى <b>DLP (mSv mGy-1 cm-1)</b>
الرأس	<b>0.0023</b>
الرقبة	<b>0.0054</b>
الصدر	<b>0.017</b>
البطن	<b>0.015</b>
الحوض	<b>0.019</b>

الجدول ٨ - ٤ المستويات الإرشادية معامل جرعة المقطع الموزونة **CTDI<sub>w</sub>** والجرعة لوحدة

**DLP** الطول

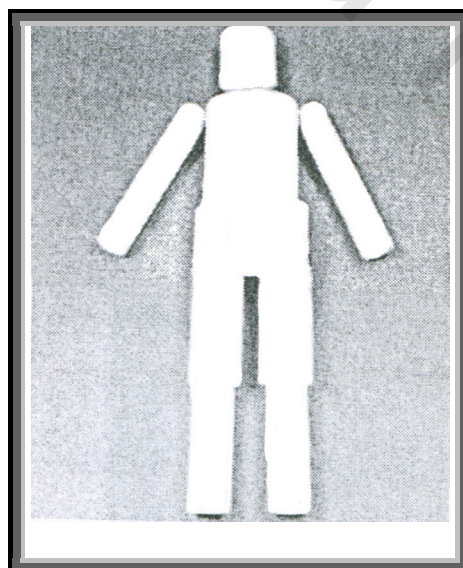
<b>DLP (mGy . cm)</b>	<b>CTDI<sub>w</sub> (mGy)</b>	نوع الفحص
١٠٥٠	<b>٦٠</b>	فحص الرأس الروتيني
٣٦٠	<b>٣٥</b>	فحص الوجه
٤٦٠	<b>٧٠</b>	فحص العمود الفقري
٦٥٠	<b>٣٠</b>	فحص الصدر الروتيني
٢٨٠	<b>٣٥</b>	فحص الرئتين
٧٨٠	<b>٣٥</b>	فحص البطن الروتيني
٩٠٠	<b>٣٥</b>	فحص الكبد والحال
٥٧٠	<b>٣٥</b>	فحص الحوض الروتيني
٥٢٠	<b>٢٥</b>	فحص عظام الحوض

## ٨ - دراسات وبحوث:

انجز المؤلف وطلبة الدراسات العليا في بغداد عام ٢٠٠٥ - ٢٠٠٤ بحثاً هدفه قياس الجرعة الإشعاعية الممتصة من قبل المرضى والناتجة عن جهاز التصوير المقطعي الحلزوني في مستشفى الجراحات التخصصية قسم الأشعة - بغداد العراق بوساطة الأجهزة الرقمية ومقاييس الوميض الحراري.

تمت دراسة أكثر من مئة حالة في شعبة التصوير المقطعي الحلزوني ووظفت هذه الدراسة لحساب الجرعة الإشعاعية المستلمة من قبل المرضى . ولعدم توفر الشبح المستخدم بشكل شائع وهو شبح البرسبكس فقد أُستخدم في هذه الدراسة شبح من نوع (BOMAB) مصنوع من مادة البولي أثيلين (Polyethylene)، و يكون مشابه لجسم الإنسان من حيث الشكل والحجم كما في الشكل (١٧-٨)، ويملاً بالماء لكي يكون مكافئ للنسيج البشري إذ يمكننا حساب الجرعة المكافئة للإنسان وحساب ( DLP , CTDI ) بوساطة الشبح وباستخدام جهاز (Unfors)، ويستخدم عادة مثل هذا الشبح لتعديل عدد عموم الجسم أثناء قياس التلوث الداخلي وهناك بحوث كثيرة في التصوير المقطعي الحلزوني استخدمت الشبح الحالي لإيجاد معامل الجرعة . (CTDI)

شكل (١٧-٨) صورة الشبح المستخدم في البحث



تم استعمال جهاز التصوير المقطعي الحلزوني في البحث الحالي

## جهاز التصوير المقطعي الحلزوني .

استخدم في الدراسة جهاز سيمنس (Siemens - Somatom Plus 4) وهو الماني المنشأ من فئة الجيل الثالث حسب تصنيف أجيال المفراس (دوراني- دوراني) أي أن أنبوب الأشعة السينية والكافش يدوران حول المريض، ويعمل هذا الجهاز بفولطية تشغيل تتراوح من (١٢٠ - ١٤٠) كيلو فولت ، ويبلغ زمن الدورة الواحدة (٧٥،٠٠) ثانية خلال °٣٦٠ ، أي أن زمن الدوران الحلزوني حول المريض من (٤٠-٨٠) ثانية لبناء حلقات لولبية متصلة من الخلف خلال فترة زمنية وجيزة ، مما يمكنه إجراء فحوصات لكل أجزاء الجسم . كثير من العوامل (البارامترات) المختارة لتشغيل الجهاز تساعد في النهاية على نوعية الصورة، لذلك فإن الاختيار الصحيح لهذه العوامل يؤدي إلى الأمثلية في نوع الصورة وانخفاض الجرعة الإشعاعية ومن أهم العوامل هي :

**١- التسديد (Collimation) :** عند اختيار عرض المسدد وهو سمك الشريحة المراد تصويرها فيجب أن تبقى هذه القيمة ثابتة خلال فترة التصوير، أي أنه في حالة اختبار تسديد شريحة سمكها ١٠ ملم لمسح عضو معين من الجسم فإن سمك الشرائح الناتجة هو ١٠ ملم على الأقل، إذ لا يمكن بناء صور تشخيصية بسمك شرائح مختلفة أي أنه إذا كان سمك الشريحة ١٠ ملم فلا يمكن جعلها ٥ ملم لباقي الصور التشريحية ولكن يمكن تغيير الفواصل بين الشرائح .

**٢- الخطوة (Pitch) :** من أهم عوامل التصوير المقطعي هو (الخطوة)، لأنه العامل الوحيد الذي يؤدي إلى اختلاف التصوير المقطعي الإعتيادي عن التصوير المقطعي الحلزوني، ويعرف أنه مقدار الجزء الداخل من منضدة المريض إلى المجمع في كل دورة لوحدة التسديد مرسوما على سمك الشريحة . فمثلاً إذا كانت الخطوة (١:١) فهذا يعني أن الجزء الداخل من المنضدة يساوي سمك الشريحة ويساوي ١ من خلال دورة واحدة، أما إذا كانت الخطوة (١:٢) (١٠ ملم سمك الشريحة، ٢٠ ملم الجزء الداخل من المنضدة) فهذا يعني أن الجزء الداخل من المنضدة يساوي ضعف عرض الشريحة، وكلما كانت الخطوة أكبر كلما قل الزمن المستغرق لدورة الجهاز . و من التجارب العملية تبين بأن الخطوة يفضل أن تكون بين ١، ٢ وذلك للحصول على صورة جيدة ، لأن استخدام أكثر من هذا العدد يؤدي إلى سرعة دخول منضدة المريض إلى المجمع خلال الدورة ونتيجة لذلك فإن الأشعة السينية سوف تنتشر مسافة أطول بإتجاه المحور العمودي (Z) وتكون الصورة غير

واضحة. فمثلاً عند إستخدام شريحة سمكها ١٠ ملم فإن صورة الشريحة الناتجة ستكون أكثر سمكاً بالإتجاه (Z) بمقدار يصل إلى ٢٧% وهذا يؤدي إلى تشوّه الصورة ولكن الجهاز المستخدم ومعظم أجهزة سيمنس (Siemens) تستخدم طريقة حسابية تسمى التحيف (Slim) أو (Slim2) لعرض تقليل هذا التشوّه. وباستخدام هذه الطريقة الحسابية فيمكن إستخدام خطوة مقدارها ٢ بدون حصول أي تشوّه في الصورة، في هذا الجهاز يمكن تصوير مساحة شريحة كبيرة بحبس النفس للمريض لمرة واحدة وباستخدام حفنة من مادة التباين لمرة واحدة.

٣- زمن الدوران (Rotation Time) : من العوامل المهمة في هذا الجهاز الزمن الذي تستغرقه منظومة (الأنبوبة / الكاشف) للدوران حول المريض ٣٦٠° ويعتمد هذا الزمن على نوع الجهاز وتركيبه، وعندما يقل زمن الدوران للأنبوبة نحصل على شرائح صغيرة لنفس الحجم من الشرائح في نفس الزمن. ٤- إختيار تيار الأنبوبة (mA) : إن إختيار تيار الأنبوبة في التصوير المقطعي الحزوني المستخدم لا يختلف عن إختيارها في التصوير المقطعي الإعتيادي. يعتمد الإختيار الصحيح للتيار على نوع الفحص المستهدف لأن زيادة التيار تؤدي إلى زيادة الجرعة. في حالة الصور ذات التباين القليل فإن ذلك يتطلب إستخدام تيار عالٍ (جرعة عالية) لتصوير شرائح سميكة لغرض زيادة وضوح الأنسجة الطيرية للجسم وتقليل الضوضاء (كما في حالة تصوير الدماغ والبطن). وكذلك فإن إختيار التيار يعتمد على وزن المريض ، وعندما تكون الشريحة المراد تصويرها في الجهاز ذات تباين كبير (مثل العظام والرئة) فإنه من المفضل إستخدام سمك قليل وتيار قليل للحصول على جرعة قليلة .

٥- إختيار البرنامج العريض والنحيف (wide, Slim, Slim2) : يتم إختيار هذه البرامج في الجهاز المستخدم في البحث لغرض التقليل من التشوّه الذي يحصل في الصورة عند المحور العمودي (Z)، وفي هذا البرنامج فإن جمع المعلومات خلال دوران منظومة (الأنبوبة / الكاشف) لا تتجمع مباشرة وذلك لأن منضدة المريض في حالة حركة مستمرة. يجب تجميع صور الشرائح من معلومات التصوير المقطعي الحزوني (Spiral Data) باستخدام هذه البرامج قبل إستخدام البرنامج الإعتيادي لتجميع الصورة. في الجهاز المستخدم في هذا البحث توجد طريقتين لتجميع صور الشرائح من هذه المعلومات ، هي إستخدام البرنامج العريض لدورة ٣٦٠° أو إستخدام البرنامج النحيف (Slim, Slim2) لدورة ١٨٠° في حالة البرنامج العريض فإن المعلومات الناتجة عن دورة كاملة (٣٦٠°) يستخدم لتجميع الصورة، ثم تجمع المعلومات لدورة كاملة أخرى وهكذا وبهذه الطريقة يتم تجنب التشوّه في الصورة الناتجة عن حركة منضدة المريض بين دورة وأخرى وخاصة في المحور العمودي (Z). المعلومات المتجمعة قريباً من

المحور العمودي تؤدي إلى زيادة العد، أما المعلومات المتجمعة بعيداً عن المحور العمودي فتؤدي إلى قلة العد . هذا الإختلاف يؤدي إلى زيادة عرض الشريحة، لذلك فعندما يتم اختيار عرض الشريحة ١٠ ملم فإن العرض الحقيقي سيكون ١٠ ملم في حالة التصوير المقطعي الإعتيادي. في التصوير المقطعي الحزاوني وعندما تكون الخطوة ١:١ وباستخدام البرنامج العريض فإن عرض الشريحة المتبقية سيكون أكبر بمقدار ١,٢٧ مرة من عرض الشريحة الحقيقي وفي حالة الخطوة ٢ فإن الشريحة ستكون ٢,٢ مرة أعرض من الشريحة المتبقية لذلك يجب أن لا نستخدم طريقة البرنامج العريض حالة الشرائح النحيفة. أما البرامج النحيفة Slim, Slim2)) فأنها تستخدم المعلومات الناتجة عن دوران ١٨٠° وفي هذا البرنامج تستخدم المعلومات لدوره مقدارها ١٨٠° وبذلك فإن التوهين الناتج عن الحركة بزاوية ١٨٠° عند التصوير من الأعلى تساوي التوهين الناتج عن الحركة بزاوية ١٨٠° من التصوير من الأسفل، لذلك فإن التشوه في الصورة يكون قليل جداً، فإذا كانت الخطوة ١:١ فإن عرض الشريحة سيكون نفسه في التصوير التالي ولكن زيادة الخطوة يؤدي إلى زيادة قليلة في عرض الشريحة .

## ١٥-٨ أجهزة قياس الجرع الإشعاعية

إن الهدف من البحث هو قياس وتحديد الجرع الإشعاعية هو لتخمين لضمان سلامة العاملين في حقل الإشعاع ولتحسين عوامل الوقاية في التشخيص الطبي وحفظ الجرع الإشعاعية ضمن الحدود المسموح بها، ولأجل قياس الجرع الإشعاعية فقد إستخدمت الأجهزة التالية :

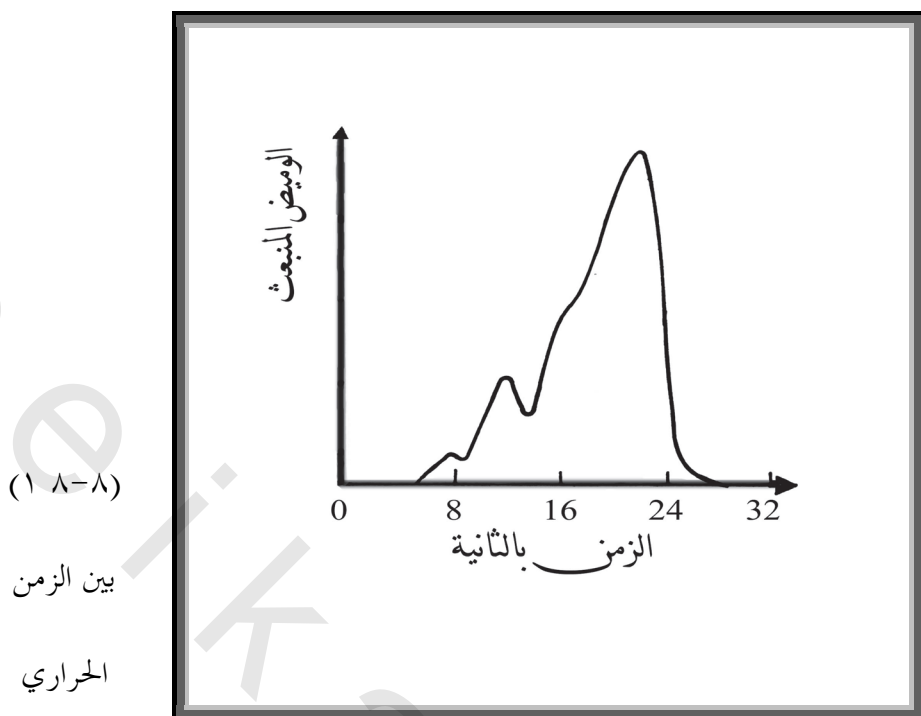
### ١ - مقاييس الوميض الحراري *Thermoluminescence Dosimetry*

أساس عمل المواد الوميضية هو تكوين ذرات متيبة، لأن الجسيمات أو الفوتونات الساقطة تتفاعل مع المادة الوميضية مكونة عدداً من الالكترونات ذات الطاقة المتدهمة، وعند عودتها إلى حالة الاستقرار تبعث فوتونات ضوئية بشكل ومضات في المنطقة فوق البنفسجية أو في منطقة الضوء المرئي، لذلك فإن هذه المواد جميعها لها القابلية على توليد هذه الظاهرة يمكن استخدامها للكشف عن الإشعاعات المؤينة ولكن بشرطين :-

- عملية تكوين الومضات يجب أن تحصل حال تفاعل الإشعاع مع البلورة، وأن يكون مقروناً بإثارة البلورة بطريقة أخرى لكي ينبعث الضوء .

2 - عملية رجوع الالكترونات إلى حالتها المستقرة يجب أن يكون مصحوباً بانبعاث الضوء وليس بتحويل الطاقة الفائضة إلى حرارة . تولد الالكترونات الحرقة والفجوات نتيجة التأين، ويكون زوج (إلكترون - فجوة) نتيجة التهيج، التي أثناء عودتها إلى الحالة المستقرة تبعث بفوتونات الأشعة فوق البنفسجية. ووجود الشوائب المنشطة يؤدي إلى تكوين مستوى جديد للحالة المتهيجية والحالة المستقرة داخل حزام المنع (*forbidden band*) التي تحتوي على طاقة فائضة بشكل حرارة، والتي تبرد نتيجة لعملية الأسر ، لذلك فإن البلورات غير النقية لا تحتاج أن تعمل في درجات حرارة واطئة .

بعض البلورات مثل  $\text{CaF}$  ،  $\text{LiF}$  ،  $\text{Al}_2\text{O}_3$  قابلية الوميض الحراري (*Thermolumincent*) بعد تعرضها للإشعاعات المؤينة . تقوم هذه الإشعاعات بتهيج الذرات ضمن البلورة مما يسبب تحرر زوج (الإلكترون- فجوة) يتم إقتناصها من قبل الشوائب المنشطة مثل (Dy, Ti, Mg) التي تصاف إلى البلورة أو من قبل بعض التشوهات (*defect*) في البلورة وتبقى على هذه الحالة لمدة وبذلك تبقى طاقة التهيج التي حصلت عليها هذه الألكترونات مختزنة في البلورة، وعند تسخين البلورة تخرج الألكترونات من مراكز الإقتناص وتكون في حالة فلقة تعود إلى حالة الإستقرار وذلك بإنبعاث الطاقة على شكل فوتونات. يوضح الشكل (١٨-٨) منحني الوميض لبلورة  $\text{LiF}$  إذ يعطي هذا المنحني تغير شدة الضوء المنبعث من البلورة مع زيادة معدل التسخين، فإذا كان التسخين يجري بصورة سريعة فسوف نحصل على قيمة أعلى مما لو كان معدل التسخين بطبياً، ولكن عرض الصورة سيكون قليلاً لأن مدة إنبعاث الضوء في هذه الحالة سيكون قصيراً.



شكل  
يبيّن العلاقة  
والويميس

### **LiF** للبلورة

هناك أنواع عديدة من قياسات الوميص الحراري (TLD) حسب كمية وشكل المادة الوميصية فيها وأكثرها إنتشاراً يحوي بين (٥٠-١٠٠ mg) من المادة الوميصية على شكل حبيبات داخل كبسولة ومن أجل قياس الجرعة يجري تسخين المادة الوميصية كهربائياً بحيث أن الضوء المنشئ منها يسقط على مضاعف ضوئي (*photo multiplier*) مربوط بدوره مع جهاز يقوم برسم منحني التوهج ويمكن القيام بعملية التسخين بأشعة الليزر أو أية طريقة أخرى .

نستطيع إذن أن نعتبر الوميص الحراري هو عملية إنباث أو تألق الضوء أثناء تسخين مادة الوميص الحراري (وهي مادة لاعضوية بلورية) التي سبق أن تعرضت إلى الإشعاع . ومن أهم المواد المستخدمة في قياسات الوميص الحراري هي ( $\text{LiF}^7 / \text{Mn}$ ) لقياسات التعرض الشخصي بالنسبة لجاما والأشعة السينية، ( $\text{LiF}^6 / \text{Mg}$ ) لقياسات التعرض الشخصي للنيوترونات البطيئة ، و (  $\text{Ca-SO}_4 / \text{Dy}$  ) لقياسات البيئة .

من أهم خواص المادة الوميصية المستعملة في قياسات التعرض الشخصي هو خفة الوزن وسهولة الحمل ، يمكن تصنيعها بأشكال مختلفة كأن تكون أقراص أو قضبان أو مسحوق ، ذات حساسية ودقة عالية . تكون مكافئة لأنسجة جسم الإنسان (*Tissue Equivalent*) . يمكن استخدامها عدة مرات إذ لها القابلية على تخزين المعلومات لعدة أشهر وهذا يسمح

بتوزيعها على العاملين لفترات من (٣-١) أشهر، أي يمكن حساب الجرعة المجمعة لها مدى واسع للجرع الإشعاعية  $Gy^{4-5}$  (١٠-١٥) (وعدم إعتمادها معدل الجرع . ذات إستقرارية عالية ولا تعتمد على الطاقة للمدى من (1.3MeV - 100 keV) وهو المدى الذي تعمل فيه الأجهزة السينية التشخيصية .

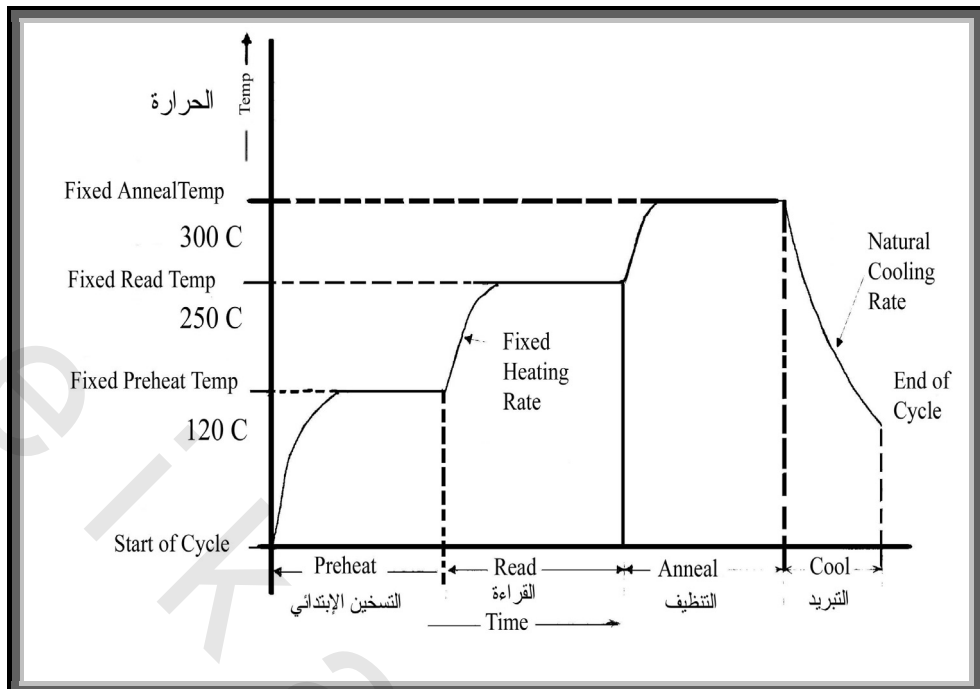
مادة اليثيوم - فلوريد شائعة الإستخدام لمقاييس الجرع لأنه ذو كثافة ( $2.64 \text{ gm/cm}^3$ ) وعدد ذري 8.12 مقارب لأنسجة الجسم .

يتم التقدير الكمي للوميض الحراري الخارج من المادة بواسطة أجهزة قياس قادرة على تسخين العينة من مادة الوميض الحراري في نفس الوقت تكون قادرة على إستيعاب وقياس الضوء الناتج من العمليات التي تولد الوميض . الجهاز الرئيسي المستخدم في قياس الجرعة الإشعاعية بواسطة الوميض الحراري هو *TOLEDO, Model - 654 TLD reader* ( لقياسات الوميض الحراري غالباً ما يستخدم مزدوج حراري يكون موصلًا بالطبقة التي توضع فيه العينة (المادة الوميضية)، فائدة المزدوج الحراري هو التحسس بدرجة الحرارة التي تصل لها العينة وبالتالي ينظم الدورة الحرارية (*Heat Cycle*) التي يكون فيها التسخين بمراحل، كما في الشكل (٨-١) .

- ا- دورة التسخين الإبتدائي (*Pre - heat*)  $120^\circ\text{C}$  .
- ب- دورة القياس والقراءة وتخالف حسب نوع العينة  $250^\circ\text{C}$  (*read - Cycle*) .
- ت- دورة التنظيف(*anneal - Cycle*)  $(300-400)^\circ\text{C}$  .
- ث- فترة التبريد (*Cool period*) .

وأثناء عملية التسخين تكون المادة الوميضية مقابلة للمضاعف الضوئي (*Photo multiplier*) فيتم قياس كمية الوميض المنبعثة خلال عملية التسخين وهذا بدوره يعتمد على مقدار الجرعة الإشعاعية المعطاة للمادة . ضمن دورة التنظيف (*anneal-Cycle*) تجري عملية التنظيف في الجهاز نفسه في درجة  $(300-400)^\circ\text{C}$  ويعتمد ذلك على نوعية المادة المستعملة، فهي حالة  $\text{LiF}_7$  تكون درجة الحرارة  $300^\circ\text{C}$ ، وفي حالة  $\text{Ca-SO}_4$  تكون درجة الحرارة  $400^\circ\text{C}$ ، وهناك عملية تسخين وتنظيف خارجي (*External Anneal*) تجري بواسطة فرن خاص مزود بوحدة سيطرة على درجة الحرارة.

شكل (٨ - ٩) يمثل منحني دورة التسخين لبلورة LiF



#### تعبير منظومة الوميض الحراري

قبل البدأ بعملية قياس أقراص الوميض الحراري الخاصة بالعرض الشخصي تجرى عملية تعبير جهاز TLD وتحضيره لقياس الجرعة المستلمة في مجال التعرض الطبي وتم عملية التعبير على النحو الآتي :

##### ١- إيجاد حساسية الجهاز

تسخن مجموعة الأقراص لدرجة حرارة (80°C) ولعدة ساعات لإزالة أي بقايا للأشعة المستلمة سابقاً من جراء التعرض الإشعاعي، وتوضع في جهاز (TOLEDO)، كما في الشكل (١٩-٨) لغرض قياس الخلفية الإشعاعية للمادة (B.G)، يتم تعريض الأقراص إلى جرعة محددة بوساطة جهاز التشعيع (Irradiator)، الحاوي على المصدر ( $Sr^{90}$ ) والباعث لجسيمات بيتا، كما في الشكل (٢٠-٨) إذ يتم تحديد الجرعة نظرياً من معرفة عدد الدورات في الجهاز، إذ أن مقدار الجرعة المستلمة لكل دورة هي (0.03 mGy) وبضربها بعدد الدورات نجد الجرعة الكلية نظرياً بعد حساب الإنحلال في المصدر المشع منذ تاريخ الصنع إلى يوم إجراء البحث .

يتم تثبيت جهاز القارئ (reader) على حساسية التعبير الخاصة لقياس إستجابة الأقراص وهي (Response) ، ثم يتم قياس معظم هذه الأقراص بوساطته وإبقاء الجزء الآخر

للتتأكد من دقة الحساسية الجديدة وملاءمتها للفياس، إذ يتم حساب الحساسية الجديدة من العلاقة التالية :

$$\text{الحساسية الجديدة} = 99,99 \times \text{الجرعة الإشعاعية المعلومة} / (\text{معدل القراءات} - \text{الخلفية})$$

(الإشعاعية)

شكل (١٩-٨) ب) يمثل صورة جهاز الوميض الحراري ٦٥٤



شكل (٢٠-٨) يمثل جهاز تشيعي أقراص الوميض الحراري بالسترونتيوم ٩٠



وقد وجد أن معدل الخلفية الإشعاعية للجهاز في المختبر يساوي (0.04 mGy) .  
ويوضح الجدول ٨ - ٥ الجرعة المقاسة بالجهاز لمجموعة ثمانية أقراص ثمأخذ المعدل للقراءة .

جدول (٨ - ٥) يبين مقدار القراءات المقاسة بجهاز القارئ (TLD reader)

	٨	٧	٦	٥	٤	٣	٢	١	رقم الأقراص
Average = 344.9	٣٤٤	٣٥٠	٣٥٨	٣٣٧	٣٥٣	٣٣٦	٣٣٣	٣٤٣	قراءات القارئ

ولمعرفة ملائمة الحساسية الجديدة ودقتها للفياس بعد تثبيتها على القارئ يتم قياس الأقراص المتبقية بنفس الطريقة إذ ستكون القراءات لمقدار الجرعة المستلمة بوحدات (mrad) (جدول ٥-٨ ب)

جدول (٨ - ٥ ب) يمثل الجرعة المعروفة وقراءة جهاز TLD reader

الجرع الإشعاعية المعلومة من قبل المشع m rad	جرعة الأقراص TLD reader mGy
	1.22
	١,٢٤
١٢٠	١,٢٠
	Av = 122m rad

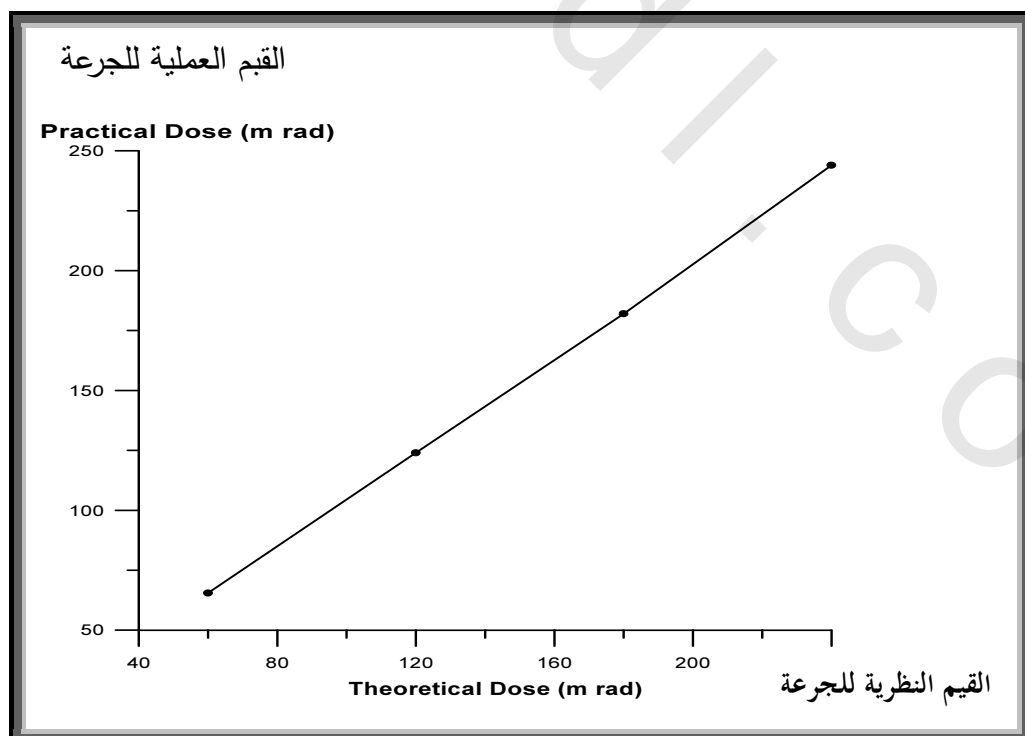
## ٢- إيجاد منحني المعايرة Calibration Curve

يتم أخذ مجموعة أقراص ويتم تعريضها لجرع مختلفة من الإشعاع وذلك بتغيير عدد دورات المشع ونحسب هذه الجرع نظرياً بوساطة جهاز التشيع، ثم يتم قياسها بوساطة جهاز القارئ ويوضح الجدول (٨ - ٦) هذه القياسات، أما الشكل (٨ - ٢١) فيمثل منحني المعايرة .

جدول (٦-٨) الجرعة العملية والنظرية (m rad) لحساب منحني المعايرة

الجرعة النظرية	الجرعة العملية ١	الجرعة العملية ٢	معدل الجرعة العملية
٦٠	٦٦	٦٥	٦٥,٥
١٢٠	١٢٦	١٢٢	١٢٤
١٨٠	١٧٧	١٨٧	١٨٢
٢٤٠	٢٤٧	٢٤٥	٢٤٤

شكل (٢١-٨) الجرعة النظرية كدالة للجرعة العملية والذي يستخدم للمعايرة



## ٢ - جهاز *Unfors CTX-Ray System*

جهاز Unfors سويدي المنشأ يعمل على مبدأ التأين الحاصل داخل الكاشف الخارجي والذي هو من نوع أشباه الموصلات، والجهاز مصمم لـ اختبارات توكيد الجودة لمختلف أجهزة المفراس، إذ يقوم بحساب (DLP ، CTDI)، كما أنه يقوم بقياس معدل الجرعة ومقدار الجرعة وزمن التعرض ويحتوي هذا الجهاز على كاشف داخلي يقيس  $kV_p$  وزمن التعرض، ويمتاز هذا الجهاز بدقة عالية وبنسبة خطأ تتراوح  $\pm 5\%$  ، إضافة إلى ذلك أنه صغير الحجم وسهل الحمل كما في الشكل (٢٢-٨).

أما المدى الذي يعمل به الجهاز فهو كالآتي:

$V_p$  CT (50 - 150 ) ، dose CT ( $10\mu\text{Gy}$  -  $9999 \text{ Gy}$ ) Time 1ms - 9999 s

$kV_p$

شكل(٢٢-٨) يمثل صورة جهاز **Unfors** المحمول



## ٣ - جهاز **Dosimax**

يتكون هذا الجهاز من كاشف محمول نوع أشباه الموصلات (*Silicium-Photodiode*) وهو مخصص للكشف عن الفوتونات ذات الطاقة العالية (أشعة كاما، الأشعة السينية) ويتميز هذا الكاشف بصغر حجمه وذلك لأن كثافة المادة شبه الموصلة، كما أن له زمن استجابة سريع جداً وله إمكانية تغيير سمك المادة شبه الموصلة لكي يلائم شروط القياس المطلوبة، كما أنه محاط بمرشح مشابه لأنسجة الجسم وفي هذا الكاشف دايدود ضوئي (*Photo diode*) الذي يمتاز بقدرة كبيرة لتحسين الأشعة السينية، ويرتبط الكاشف بمقاييس نوع *Dosimax* ليعطي معدل الجرعة والجرعة الإشعاعية وزمن القياس والفولتية كما موضح في الشكل (23-8).

شكل (٢٣-٨) صورة لجهاز قياس الأشعة السينية **Dosimax**



-٨ ١٦ جرعة الدخول السطحية للدماغ

تم قياس الجرع الدخول السطحية (ESD) باستخدام أقراص (TLD) إذ وضعت ثلاثة أقراص في كيس بلاستيكي ولصق إلى مركز سقوط الإشعاع بوساطة شريط لاصق طبي لكي لا تظهر له صورة عند التعرض للأشعة السينية. وبعد إنتهاء هذا الفحص وضعت حجرة التأين في موقع المريض وعرضت للأشعة السينية بظروف مماثلة تماماً لنعرض المريض. كان التشخيص الطبي الأول للدماغ ولعدد ١٢ مريض نصفهم من الرجال ونصفهم من النساء وتتراوح أوزانهم بين (٦١-٧٨) كغم لم يحقنوا بمادة ايديد الباريوم (*Barium Iodide*) لزيادة التباين لأن جودة الصورة كانت كافية لإعطاء تشخيص دقيق من قبل الإخصائي الإشعاعي . يوضح الجدول (٨-٧) الجرع الإشعاعية للدماغ . تم اختيار ١٢ مريضاً آخرًا من الجنسين لم تكن صورة أجزاء الدماغ المراد تصويرها واضحة بعد أول فحص إشعاعي لذلك حقن المريض بمادة (*Barium Iodide*) لزيادة التباين والحصول على صورة يمكن تشخيصها بدقة، وفي هذه الحالة ازداد زمن الفحص بحدود الضعف عن الحالة الأولى وتضاعفت الجرعة تقريباً كما موضح في الجدول (٨-٨) .

**الجدول (٧-٨) مقدار الجرعة الإشعاعية الناتجة أثناء فحص الدماغ بإستخدام الجهاز الرقمي**

**الممول بعدم استخدام مادة التباين Dosimax**

$KV_p = 140$  , Slice thickness = 8mm ,Rotation time=1. 5 sec

mA	الزمن sec	معامل التشتت	قياس الجهاز mGy	قياس TLD	وزن المريض kg	الجنس	الترتيب
١٧١	٢٢	١,٣٦	2.8	٣,٨٣	٧٨	male	١
١٧١	٢٤,٥	1.42	2.7	٣,٨٧	٧٥	male	٢
١٧١	٢٤	١,٤٠	٣	٣,٢٥	٦٥	male	٣
١٧١	٢٤	١,٢٢	٢,٨	٣,٤٢	٦٣	male	٤
١٧١	٢٣	١,٤٦	٢,٥	٣,٦٧	٧٠	female	٥
١٧١	٢٤	١,٥٤	٢,٤	٣,٧٠	٧٥	female	٦
١٧١	٢٤	١,٥٥	٢,٥	٣,٨٩	٧٧	female	٧
١٧١	١٨	١,٣٧	٢,٦	٣,٥٧	٨٣	female	٨
١٧١	٢٤	١,٤٨	٢,٦	٣,٨٥	٦١	female	٩
١٧١	٢٤	١,١٠	٢,٨	٣,١٠	٦٦	female	١٠
١٧١	٢٤	١,٢٧	٣,١	٣,٩٥	٦٥	female	١١
١٧١	٢٤	١,٢٠	٣,٣	٣,٩٦	٧٠	female	١٣
Average		١,٣٩	٢,٧٥	٣,٦٧			

## ٨ جرعة السطحية للصدر *Chest*

KV <sub>p</sub> = 140 , Slice thickness = 8mm ,Rotation time=1. 5 sec							
mA	الزمن sec	معامل التشتت	قياس الجهاز mGy	قياس TLD	وزن المريض kg	الجنس	ت
١٧١	٤٨	١,٤١	٥,١	٧,٢٢	٤٥	Male	١
١٧١	٥٠	١,٤٠	٥,٣	٦,٧٧	٦٥	Male	٢
١٧١	٥٢	١,٤٣	٥,٣	٧,١٢	٦٣	Male	٣
١٧١	٥٦	١,٣٥	٥,٣	٦,١٦	٧١	Male	٤
١٧١	٦٠	١,٣٨	٥,٥	٦,٦٧	٧٥	Male	٥
١٧١	٥٠	١,٢٩	٥	٦,٤٥	٦١	Male	٦
١٧١	٤٨	١,٢٩	٤,٩	٦,٣٥	٦٦	Male	٧
١٧١	٤٨	١,٢٠	٥,١	٧,١٢	٦٢	male	٨
١٧١	٥٠	١,٢٢	٥,٣	٦,٥	٨١	Fema le	٩
١٧١	٥٢	١,٣٦	٥,٤	٧,٦	٦١	Fema le	١٠
١٧١	٥٠	١,٣٦	٥,٢	٧,١	٦٥	Fema le	١١
١٧١	٥٢	١,٤٦	٥,٢	٧,٦	٦٢	femal e	١٢
Average		١,٣٤	٥,٢٣	٦,٨٨			

تم قياس الجرعة الإشعاعية للمرضى عند فحص صدورهم باستخدام أقراص الوميض الحراري لقياس الجرعة السطحية بوجود المريض (ESD<sub>pp</sub>) وباستخدام حجرة التأين ثم قياس

الجرعة بعدم وجود المريض ( $ESD_{pa}$ )، ويتبين بأن قيم الجرع متقاربة جداً والزيادة في قراءات الـ (TLD) يعود إلى عدة عوامل أهمها الجرعة الناتجة عن تشتت الأشعة السينية من جسم المريض ووصولها إلى أقراص (TLD) والقراءة الموضحة لأقراص (TLD) هي معدل قراءة ثلاثة أقراص توضع على جسم المريض ومركز الحزمة الساقطة، وكذلك تم قياس معامل تشتت في هذا النوع من التصوير وقد وجد بأن معدل التشتت (١,١٦). ويوضح الجدول (٨-٩) قياسات الصدر .

**الجدول (٩-٨) يوضح مقدار الجرعة الإشعاعية الناتجة أنساء فحص الصدر باستخدام الجهاز**

**الرقمي المحمول Dosimax بعدم استخدام مادة التباين**

KV <sub>p</sub> = 120 , Slice thickness = 5mm ,Rotation time=0.75 sec							
mA	Time sec	Scattering Factor	Dosimax mGy	TLD	Weight kg	Sex	Patient
240	٢٨	١,٠٧	٦,٧	٧,٢	٧٠	male	١
240	٢٨	١,٢١	٦,٥	٧,٩	٧٥	male	٢
240	٣٠	١,١٦	٦,٨	٧,٩	٧٠	male	٣
240	٣٠	١,١٢	٧,٢	٩,١	٧٠	male	٤
240	٣٤	١,٠٦	٧,٥	٨,٠	٦٥	male	٥
240	٣٠	١,١٧	٦,٩	٨,١	٧٩	male	٦
240	٣٢	١,٢٠	٦,٩	٨,٣	٦٩	male	٧
240	٣٢	١,٢٦	٦,٨	٨,٦	٥٥	male	٨
240	٢٢	١,١٩	٧,١	٨,٥	٤٥	female	٩
240	٣٠	١,١٩	٦,٨	٨,١	٦٥	female	١٠
240	٢٦	١,١٩	٧,١	٨,٥	٧٠	female	١١
240	٣٠	١,١٩	٧,٣	٨,٧	٧٥	female	١٢
Average		١,١٦	٦,٩٦	٨,٢٤			

ويمثل الجدول (٨-٩) القياسات نفسها ولكن بعد زرقة المريض بمادة التباين لكي نحصل

على صورة واضحة للشريحة الباليولوجية. يلاحظ بأن زمن القياس قد إزداد إلى الضعف تقريباً

وهذا يؤدي إلى زيادة التعرض (mA) وبالرغم أن تيار الأنبوبة (mA) متساوٍ فقد إزدادت الجرعة أكثر من الضعف نتيجة لزيادة التعرض .

#### ٨ - ١٨ قياس الجرعة السطحية للجهاز الهضمي (Abdomen)

تم قياس الجرعة الإشعاعية أثناء فحوصات الجهاز الهضمي (منطقة البطن) إذ تم فحص المرضى بدون زرائهم بمادة التباين وبعد زرائهم بمادة التباين وتوضيح الجداول (١١-٨) و (١٢-٨) ذلك

٩ - ١٠ مقدار الجرعة الإشعاعية أثناء فحص الصدر بإستخدام الجهاز الرقمي المحمول Dosimax موجود أو ساط التباين

الجدول (٨-١١) مقدار الجرعة الإشعاعية أثناء فحص الجهاز الهضمي منطقة البطن

### Abdomen Dosimetry Examination

KV <sub>p</sub> = 120 , Slice thickness = 5mm ,Rotation time=0.75 sec							
mA	الزمن sec	معامل التشتت	قياس الجهاز mGy	قياس TLD	وزن المريض kg	الجنس	ت
240	٢٨	١,٠٧	٦,٧	٧,٢	٧٠	male	١
240	٢٨	١,٢١	٦,٥	٧,٩	٧٥	male	٢
240	٣٠	١,١٦	٦,٨	٧,٩	٧٠	male	٣
240	٣٠	١,١٢	٧,٢	٩,١	٧٠	male	٤
240	٣٤	١,٠٦	٧,٥	٨,٠	٦٥	male	٥
240	٣٠	١,١٧	٦,٩	٨,١	٧٩	male	٦
240	٣٢	١,٢٠	٦,٩	٨,٣	٦٩	male	٧
240	٣٢	١,٢٦	٦,٨	٨,٦	٥٥	male	٨
240	٢٢	١,١٩	٧,١	٨,٥	٤٥	female	٩
240	٣٠	١,١٩	٦,٨	٨,١	٦٥	female	١٠
240	٢٦	١,١٩	٧,١	٨,٥	٧٠	female	١١
240	٣٠	١,١٩	٧,٣	٨,٧	٧٥	female	١٢
Average		١,١٦	٦,٩٦	٨,٢٤			

**الجدول (٨ - ١٢) مقدار الجرعة الإشعاعية أثناء فحص الجهاز الهضمي منطقة البطن بإستخدام الجهاز الرقمي المحمول Dosimax بوجود أوساط التباين**

KV<sub>p</sub> = 140 , Slice thickness = 8mm , Rotation time=1. 5 sec

mA	الزمن sec	معامل التشتيت	قياس الجهاز mGy	قياس TLD	وزن المريض kg	الجنس	ت
300	٣٠	١,١٨	١٠,٧	١٢,٧	٧٩	Male	١
300	٣٠	١,١٣	١١,٩	١٣,٥	٧١	male	٢
300	٣٠	١,٢٦	٩,١	١١,٥	٧٩	male	٣
300	٣٠	١,٢١	٩,٣	١١,٣	٨١	female	٤
300	٣٠	١,١٤	١٢,١	١٣,٨	٨٥	female	٥
300	٣٠	١,١٨	٨,٧	١٠,٣	٨٦	female	٦
300	٣٢	١,٢١	٩,٥	١١,٥	٦٠	female	٧
300	٣٠	١,١٥	٩,١	١٠,٥	٦٠	female	٨
300	٣٠	١,١٩	١١,٣	١٣,٥	٦٦	female	٩
300	٢٨	١,٢٤	١٠,٥	١٢,١	٣٥	female	١٠
300	٢٨	١,١٤	٩,٧	١١,١	٥٠	female	١١
٣٠٠	٣٠	١,٢٩	٨,٨٩	١١,٥	٨١	female	١٢
٣٠٠	٣٠	١,٢٢	٨,٧٥	١٠,٧	٨٥	female	١٣
Average		١,١٩	٩,٩٦	١١,٧٥			

## ١٨- خطية التعرض

تقاس الجرعة الإشعاعية كدالة لتيار الأنبوب (mA) أو التعرض (mA) بثبوت ذروة

$KV_p = 140$  , Slice thickness = 8mm , Rotation time=1. 5 sec

ن	الجنس	وزن المريض kg	قياس TLD	قياس المجهاز mGy	معامل التشتت	الزمن sec	mA
١	male	٦٥	٢٢,٠	١٩,١	١,١٥	٦٠	٣٠٠
٢	male	٧٠	٢٢,٥	١٨,٧٥	١,٢٠	٦٠	٣٠٠
٣	male	٦٥	٢٣,٥	١٨,٩٥	١,٢٤	٦٠	٣٠٠
٤	female	٦٥	٢٥,٣	٢٢	١,١٥	٦٤	٣٠٠
٥	female	٧٠	٢١,٣	٢٠,١	١,٠٥	٦٢	٣٠٠
٦	female	٧٥	٢٢,٧	١٨,٥	١,٢٢	٦٠	٣٠٠
٧	female	٧٠	٢١,٥	١٩,٨	١,٠٨	٥٨	٣٠٠
٨	female	٧٧	٢٣,١	٢٠,٢	١,١٤	٦٠	٣٠٠
٩	female	٧١	٢٢,٩	١٩,١	١,١٩	٦٠	٣٠٠
١٠	female	٨٥	٢٢,٣	٢١,٣	١,٠٤	٦٤	٣٠٠
١١	female	٨٠	٢٣,٤	١٩,٨٦	١,١٧	٦٢	٣٠٠
١٢	female	٨٧	٢٣,٥	٢١,٨٦	١,٠٧	٦٦	٣٠٠
Average		٢٢,٨٣	١٩,٩٦	١,١٤			

الفولتية الأنود وسمك الشريحة . زيادة التيار تؤدي إلى زيادة الجرعة الإشعاعية أي

**الجدول (١٣-٨) يوضح مقدار الجرعة الإشعاعية أثناء زيادة تيار أنبوب الأشعة**

### **للجهاز باستخدام الجهاز الرقمي المحمول Unfors**

$kV_p = 140$  , Slice thickness = 8mm

,Rotation time=1. 5 sec

mA	الجرعة mGy
1200	1.2
1680	2.2
2160	3.15
2640	4.13
3120	5
3600	5.8
4080	6.6
4440	7.2
4800	7.8
5280	8.6
5760	9.4
6240	10.1
6720	10.9
7200	11.7
7680	12.5
8160	13.3
8640	14

زيادة المعدل الزمني لعدد الفوتونات المنبعثة من أنبوبة الأشعة السينية وبذلك تزداد

الجرعة الإشعاعية و يوضح الجدول (١٣-٨) مقدار الجرعة الإشعاعية أثناء زيادة مقدار الـ

(mAs) لأنبوب الأشعة لجهاز المفراس الحلزوني باستخدام فولتية ذروة مقدارها (140 kVp) وسمك شريحة مقدارها 8 ملم بواسطة الجهاز الرقمي محمول (Unfors)، كما يمثل الجدول (١٤-٨) مقدار الجرعة الإشعاعية أثناء زيادة مقدار التعرض (mAs) لأنبوب الأشعة لجهاز المفراس الحلزوني باستخدام فولتية ذروة مقدارها (120 kVp) وسمك شريحة مقدارها 5 ملم بواسطة الجهاز الرقمي نفسه .

**جدول (١٤-٨) مقدار الجرعة الإشعاعية بزيادة تيار الأنبوب باستخدام الجهاز الرقمي المحمول Unfors**

Tube Current mA	الجرعة mGy
1032	2.5
1440	3.4
2256	5.4
2664	6.3
2976	7.12
3504	8.3
4104	9.67
4536	10.8
4944	11.7
5352	12.7
5760	13.6
6168	14.6
6576	15.65
6984	16.7

يمكن قياس (CTDI) باستخدام شبح من نوع (BOMAB) وهو المتوفر حالياً في العراق واستخدم في هذا البحث جهاز (Unfors) والمصمم خصيصاً لقياس (CTDI) والـ (DLP) فقد وضع الكاشف عند سقوط مركز حزمة الأشعة السينية لقياس (CTDI<sub>c</sub>)، وفي المرة الثانية عند محيط أو جانب المنطقة المراد قياس (CTDI<sub>p</sub>) باستخدام المعادلات الرياضية المنوطة عنها سابقاً تم إيجاد (CTDI<sub>w</sub>) و (DLP) كما موضح في الجداول (١٥-٨) ، (١٦-٨) ، (١٧-٨) لمناطق الدماغ والبطن والصدر على التوالي .

### **الجدول (١٥-٨) يمثل قيم CTDI<sub>w</sub> و DLP للدماغ**

KV <sub>p</sub> = 140 , Slice thickness = 8mm Rotation time=1sec			
CTDI <sub>c</sub> mGy	CTDI <sub>p</sub> mGy	CTDI <sub>w</sub> mGy	DLP mGycm
٤٨	٣٩	٤٢	١٠٠٨
٤١	٣٨	٣٩	٩٣٦
٤٧	٤١	٤٣	١٠٣٢
٤٢	٣٦	٣٨	٩١٢
٥١	٤٣	٤٥,٦	١٠٩٤
٤٢	٣٦	٣٨	٩١٢
٤٩	٤٣	٤٥	١٠٨٠
٤٤	٣٩	٤٠,٦	٩٧٤,٤
		ave =41.4	ave =993.6

**الجدول(٨-٦) يمثل قيم  $\text{CTDI}_w$  و  $\text{DLP}$  للبطن**

$\text{KV}_p = 140$ , Slice thickness = 8mm ,Rotation time=1. 5 sec			
$\text{CTDI}_c$ mGy	$\text{CTDI}_P$ mGy	$\text{CTDI}_w$ mGy	$DLP$ mGycm
٢٢	١٩	٢٠	٦٤٠
٢٠	١٨	٢٠,٣	٦٤٤
٢٤,٥	٢١	٢٢,١	٧٠٧
٢٣	١٩	٢٠,٣	٦٤٩
٢٤	١٨	٢٠	٦٤٠
٢١	١٨	١٩	٦٠٨
١٩	١٧	١٧,٦	٥٦٣
١٧	١٥	١٥,٦	٤٩٩
١٩	١٦	١٧	٥٤٤
٢٣	١٩	٢٠,٣	٦٤٤
		ave =19.22	ave =615

**الجدول(٨-٧) يمثل قيم  $\text{CTDI}_w$  و  $\text{DLP}$  للصدر**

$\text{KV}_p = 120$ , Slice thickness = 5mm Time = 28 sec ,Rotation time=0.7 5 sec			
$\text{CTDI}_c$ mGy	$\text{CTDI}_P$ mGy	$\text{CTDI}_w$ mGy	$DLP$ mGycm
١٣	١١,٣	١١,٩	٤٤٤
١٣,٤	١١,٤	١٢	٤٤٧
١٢,٥	٩,٤	١٠,٤	٣٨٨
١٤,١	٩,٣	١٠,٩	٤٠٦
١٢,٩	١٠,٥	١١,٣	٤٢١
١١,٧	٨,٥	٩,٥	٣٥٤
١٠,٥	٧,١	٨,٢	٣٠٦
		ave =10.6	ave =395

## ١٩-٨ الأشعة السينية المستطرة *Scattering X-Ray*

يتعرض العاملين داخل غرفة الفحص إلى الأشعة السينية المتشتتة من جسم المريض ولهذا السبب تم دراسة الجرعة الناتجة من هذه الأشعة لمسافات مختلفة من أنبوبة الأشعة السينية إذ تم قياس الجرعة المستطرة وعلى أبعاد مختلفة بدون حاجز رصاصي والجرعة خلف حاجز رصاصي عند تلك الأبعاد وقد تم قياس الجرعة الإشعاعية باستخدام حجرة التأين السويديّة الصنع عند تثبيت كل من التعرض (mAs) وفولتية الأنبوبة (kVp)، وقد وجد بأن الإستطرارة تقل كلما زادت المسافة عن الأنبوبة وتصبح أقل من حساسية الجهاز على بعد ٧٠ سم وتنخفض على بعد ٣٠ سم بوجود حاجز رصاصي، ويبين الجدول (١٧-٨) مقدار الجرعة المتشتتة بعدم وجود الحاجز وبوجوده .

### المناقشة

١ - نلاحظ من الجداول (١٣-٨ . ٧-٨) بأن التصوير المقطعي الحلزوني قد تم باستخدام أو بعدم استخدام أوساط التباين وأن الجرعة تتضاعف تقريباً عند استخدام أوساط التباين، لذلك يجب على طبيب الأشعة المختص أن يقرر منذ بداية الفحص استخدام أو عدم استخدام أوساط التباين لكي لا يتعرض المريض إلى جرعة إضافية غير مبررة .

## الجدول (١٨-٨) يوضح الجرعة الإشعاعية على أبعاد مختلفة من أنبوب الأشعة

### حساب قيمة الأشعة المستطرارة من الجهاز

المسافة سم	الجرعة بدون حاجز الرصاص $\mu\text{Gy}$	$\mu\text{Gy}$ الجرعة بوجود حاجز الرصاص	النسبة المئوية للنقصان في الجرعة
١٠	٢٧٠	٥٠	٨١%
٢٠	٤٥	٢٠	٥٥%
٣٠	٢٥	١٨	٢٨%
٤٠	١٣	١١	١٥%
٥٠	٨	—	
٦٠	٦	—	
٧٠	٢	—	
٨٠	—	—	

- ٢- يلاحظ بأن الجرعة المقاسة باستخدام أقراص الوميض الحراري أكبر منها للجرعة الناتجة عن قياس حجرة التأين وذلك ناتج عن الأشعة المشتتة عن جسم المريض والواصلة إلى الأقراص ، لذلك فإن معدل التشتت في البحث الحالي يتراوح بين (١,١٤ - ١,٣٤) وهو ضمن معامل التشتت للبحوث المنشورة والذي يتراوح بين (١,١ - ١,٥) أي بمعدل ١,٣.
- ٣- يلاحظ من الجداول بأن البروتوكول في الفحص يستخدم الفولطية نفسها و التعرض نفسه بغض عن كتلة المريض وبذلك فإن المرضى ذوي الكتل الصغيرة أو الأطفال يتعرضون إلى جرع عالية إذا استخدمت العوامل نفسها للمرضى ذوي الكتل الكبيرة وقد أوضحت كثير من الدراسات بأنه من الأفضل أن يتم اختيار عوامل الجهاز تبعاً لكتلة الجسم .
- ٤- نلاحظ أن سمك الشريحة يختلف بنوع الفحص في البحث الحالي، كان سمك الشريحة ٨ ملم لفحص الدماغ والبطن، ٥ ملم لفحص الصدر وكلما كان سمك الشريحة أقل فإن ذلك يؤدي إلى زيادة الجرعة الإشعاعية لأن السمك القليل يوضح خواص تشريحية كبيرة على طول محور

الجسم وبذلك تزداد الجرعة الإشعاعية، وعلى سبيل المثال فإن شريحة سمكها ٣ ملم تولد جرعة ممتصة مضاعفة عندما يكون سمك الشريحة ٦ ملم للفحص نفسه وللظروف نفسها لذلك يفضل استخدام السمك المناسب الذي يجعل الجرعة أقل ما يمكن وتكون الصورة ذات نوعية جيدة .

### **العلاقة بين الجرعة الإشعاعية والتعرض (kVp) وفولتية الأنود (mAs)**

يتضح من الجداول (٨-١٤)، أن زيادة فولتية الأنوب تقلل من الجرعة الإشعاعية، فعندما تزداد الفولتية من ١٢٠ إلى ١٤٠ كيلو فولت فإن الجرعة تزداد بمقدار % ٢٨ عندما يكون التعرض (٥٠٠٠) ملي امبير. ثانية (mAs) وهذه من الطرق المهمة لتقليل الجرع وذلك بزيادة فولتية الأنوب وتقليل التعرض (mAs). وفي التصوير المقطعي الحلواني يمكن الوصول إلى فولتية عالية وتعرض قليل وذلك لوجود كواشف إشعاعية والتي تقوم بتوليد إشارة كهربائية تخزن في الحاسوب بحيث أقل تعرض إشعاعي يجب أن يكون أكبر من مستوى الضوضاء الأساسية للعداد وأكبر من تعرض لا يتجاوز مستوى الإشعاع، أما في التصوير الشعاعي التقليدي فإن زيادة التعرض أو الفولتية تكون محدودة بالكتافة الضوئية لأن الزيادة في الفولتية تقلل الجرعة ولكنها قد تزيد من إسوداد الفلم فيكون ذو نوعية غير جيدة .

### **حساب معامل الجرعة (CTDI) والجرعة لوحدة الطول (DLP)**

هناك طرق عديدة لقياس معامل جرعة (CTDI) من أهمها :

١ - إستخدام شبح من البيرسبيكس قطره (٦ سم) لقياس جرعة الرأس وأخر قطره (٣٢ سم) لقياس جرعة البطن إذ توضع أقراص الوميض الحراري داخل الشبح فتكون قراعتها هي (CTDI) في المركز أو في المحيط لأن وضعها على المريض يعطي قياس الجرعة السطحية .

٢ - القياس المباشر باستخدام حجرة تأين حجم الحساس لها طوله (٠.١ سم) يوضع على جسم المريض في المركز أو في المحيط وأقراص (TLD) وأخذ معدل هذه الجرع ، وفي هذا البحث تم القياس بالطريقة الثانية واستخدم فانتم بلاستيك يلاحظ من الجدول (٨-١٩) معدل نتائج كل من (CTDI<sub>w</sub>) و (DLP) . أن القيم الحالية والقيم العالمية متطابقة ولكن يوجد بعض الاختلاف في القياسات لأن الجرع تعتمد على سمك الشريحة وזמן الدوران وهذا يختلف باختلاف خبرة المصور الشعاعي والعضو المراد تصويره حسراً ، لكن القياسات مقاربة بشكل جيد .

## تشتت الأشعة من جسم المريض

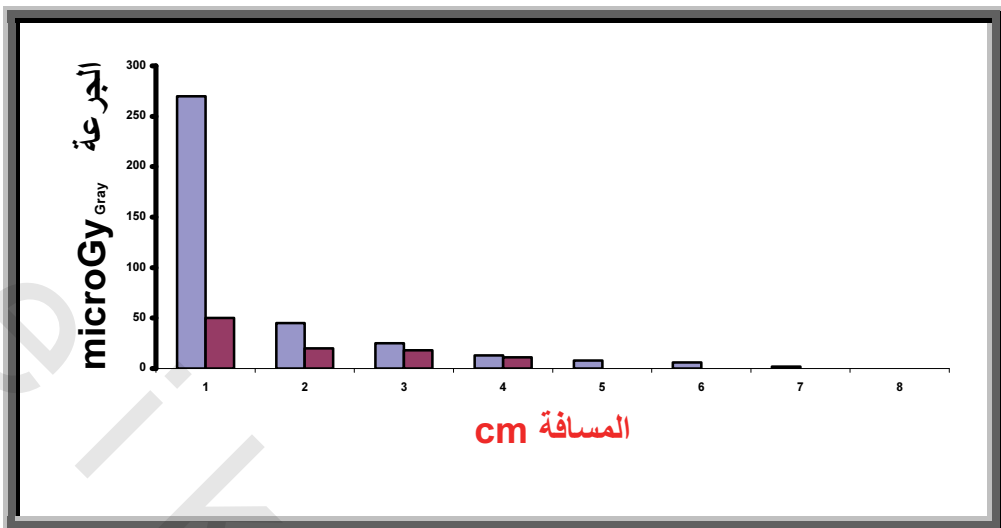
إن تشتت الأشعة السينية الناتج عن جسم المريض يكون كبيراً، لذلك فإن الجرعة الممتصة من قبل الكادر الطبي المتواجد في غرفة الفحص قد تكون كبيرة، إذ يوضح الشكل (٢٤-٨) أن التناقص في الجرعة الإشعاعية يكون بشكل حاد كلما إزدادت المسافة عن جسم المريض، وعندما تكون المسافة أكبر من ٢٥ سم فإن التناقص يكاد يكون خطياً ويختفي بشكل تقربي إلى قانون التربع العكسي لتناقص الجرعة . وعند وضع الحواجز الرصاصية فإن الجرعة الناتجة عن التشتيت تتناقص بشكل كبير. كما يتضح من الشكل (٢٥-٨) ، حيث أن التناقص يكون بنسبة ٨١% على بعد ١٠ سم عن جسم المريض ويصل إلى قيم لا يمكن التحسس بها على بعد ٥٠ سم ، لذلك فإن وضع الحواجز الرصاصية على القرب من المجمع يؤدي إلى تقليل الجرعة بنسبة ٨١% إلى يد الطبيب عندما يقوم بزرق المريض بمحلول التباين ، أي أن الجرعة التي يتعرض لها الكادر الطبي في غرفة الفحص تقل بازدياد عن جسم المريض

## جدول (١٩-٨) يمثل قيم (DLP) و(CTDI<sub>w</sub>) ومقارنتها مع المحددات

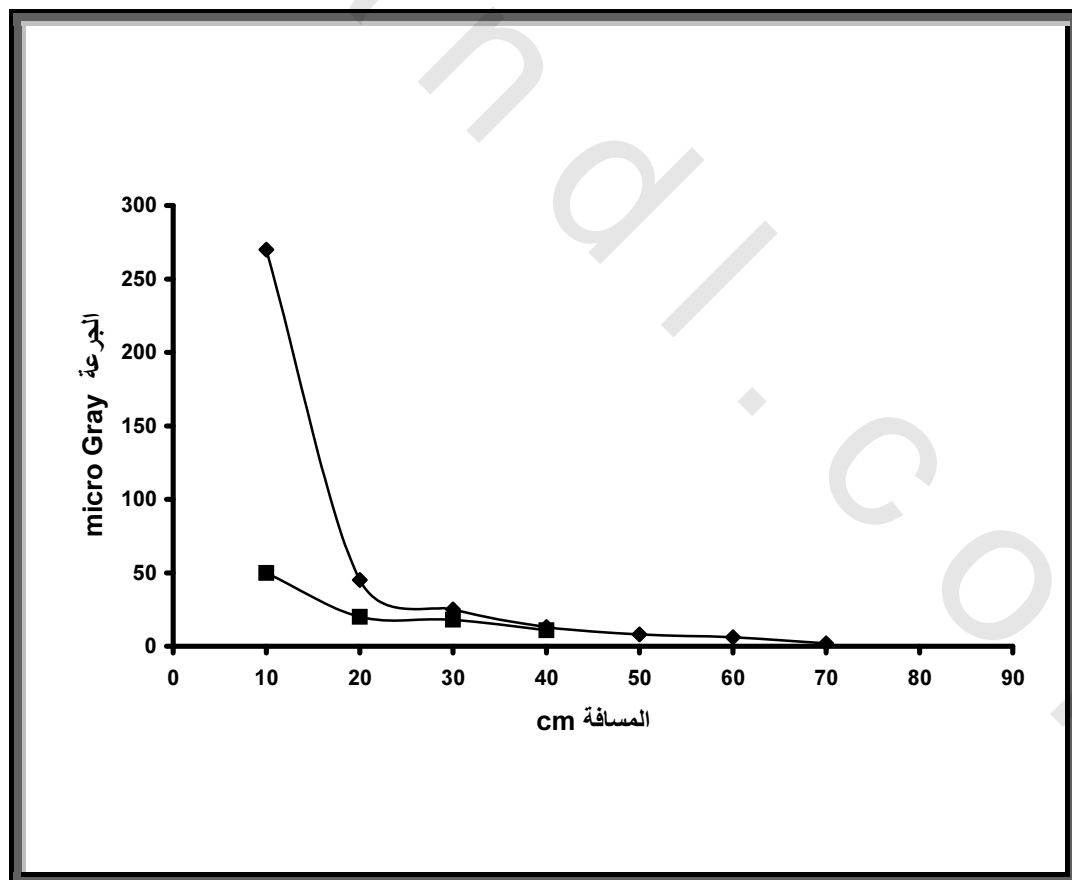
### الدولية والدول الإسكندنافية

الدول الإسكندنافية		منظمة البيئة الام المتحدة		مجموعة دول الاتحاد الأوروبي		البحث الحالي		نوع الفحص
CTDI	DLP	CTDI	DLP	CTDI	DLP	CTDI	DLP	
٦٧	١٠٣٠	٦٠	٦٠٠	٦٠	١٠٥	٤١	٩٩٣	الرأس
١٠,٩	٣٥٠	٣٠	٤٠٠	٣٠	٦٥٠	١٠,٦	٣٩٥	الصدر
٤٠	٥٠٠	٣٥	٥٠٠	٣٥	٨٠٠	١٩	٦١٥	البطن

شكل (٢٤-٨) يمثل الأشعة المستطرارة



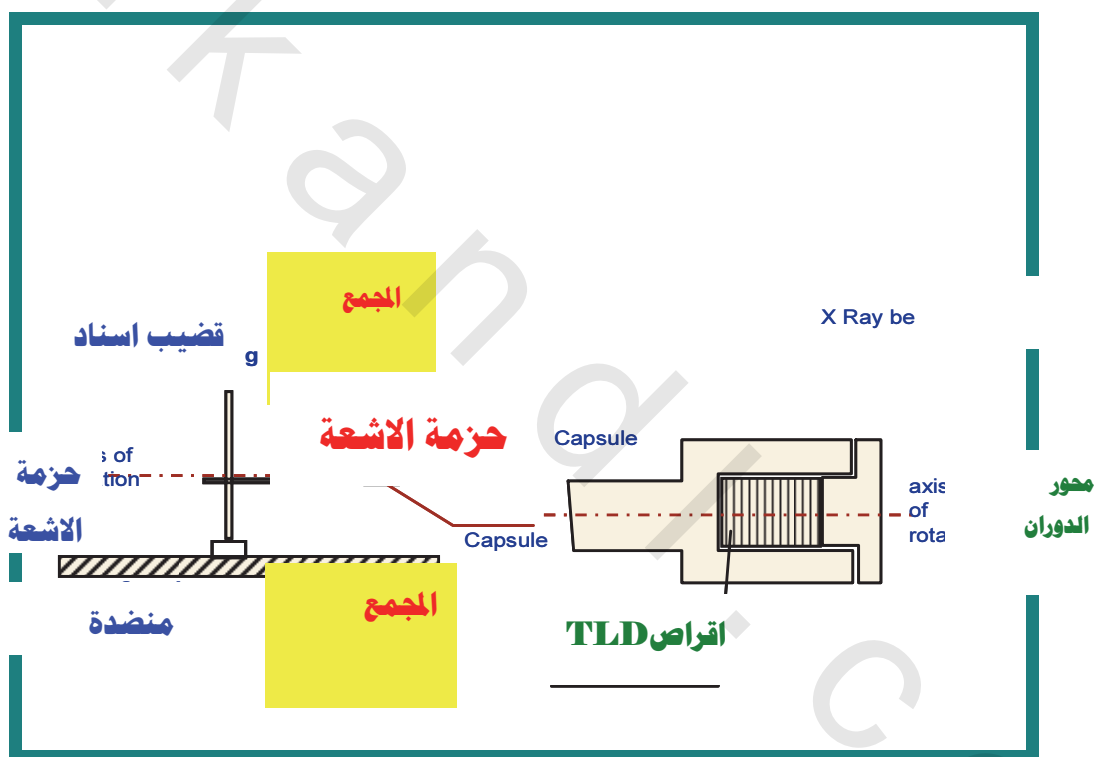
شكل (٢٥-٨) يمثل تشتت الأشعة المستطرارة بوجود و عدم وجود حاجز رصاصي



## ٨ - ٢٠ قياس معدل الجرعة في الهواء (كيرما الهواء) باستخدام برنامج مونتي كارلو

انجز هذا البحث في المستشفى الجمهوري في اربيل كجزء صغير من رسالة دكتوراه في الفيزياء الطبية اشرف المؤلف عليها في جامعة صلاح الدين / اربيل كردستان العراق. تم قياس كيرما الهواء باستخدام مجموعة من اقراص الوميض الحراري (TLD) ( موضوعة داخل كيس بلاستيكي اسود طولة ٣٢ سم وضعت على منضدة المريض شكل (٨ - ٢٦).

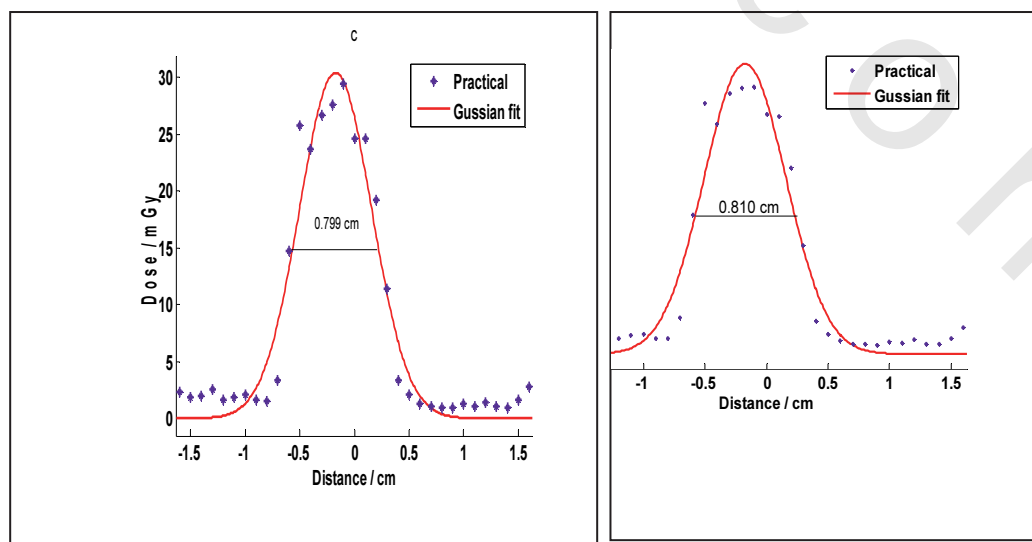
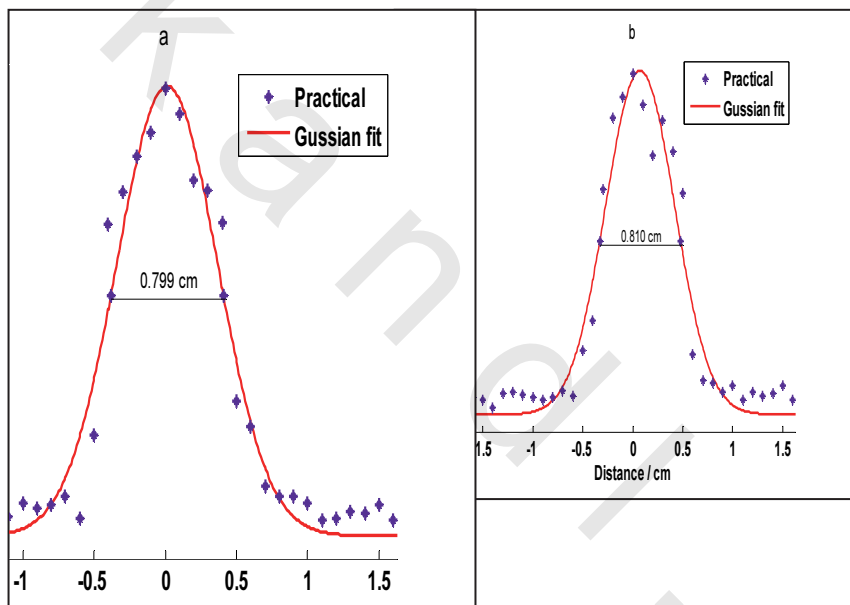
شكل (٨ - ٢٦) ترتيب اقراص الوميض الحراري لقياس معامل الجرعة

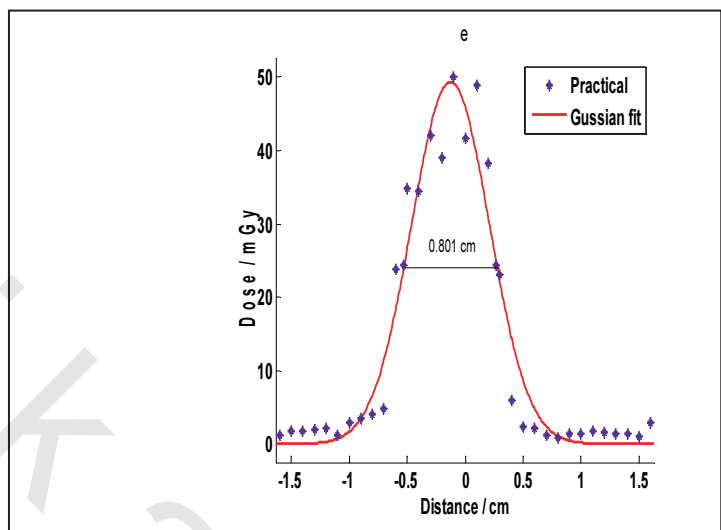


وشعّعت بحزمة من الاشعة السينية من جهاز التصوير المقطعي الحلزوني بعرض (mAs) ٦٠ ملي امبير . ثانية وفولطية ١٣٠ kVp . اعيدت القياسات لقيم تعرض ٩٠، ١٢٠، ١٤٠، ٢٢٥ ملي امبير . ثانية بثبوت ١٣٠ kVp ( ٢٩ - شكل ) . من القياسات تم رسم مخططات الجرعة (Dose prf file) . وجدت سماكة ٨ ملم وتعرض مختلف . وبحساب الطول عند منتصف القيمة العليا للعرض الكلي (FWHM) وجد أنها تساوي تقريبا .

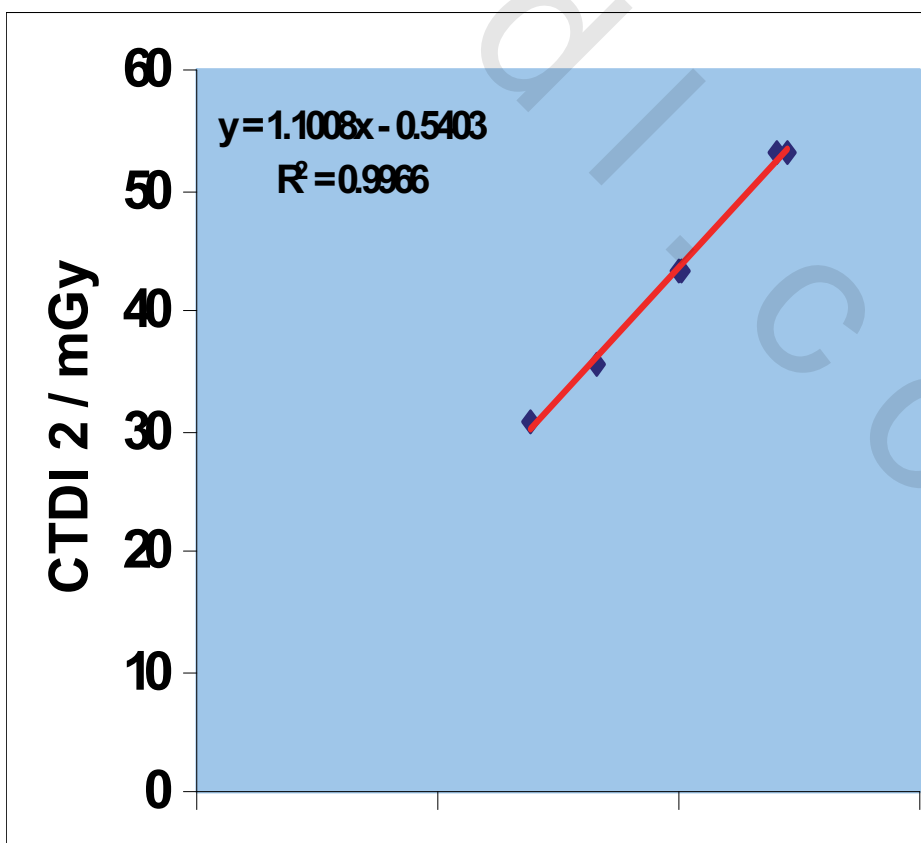
العرض الحقيقي للشريحة. تم حساب معامل جرعة الهواء (كيرما) CTDI air للصدر بطريقتين الاولى حساب المساحة الكلية تحت المنحنى لمخطط الجرعة والثانية من المعادلات الرياضية والموضحة في الجدول (٨ - ٢٠ ) والشكل (٨ - ٣٠ ) . تم قياس مكافئ الجرعة الفعالة للاعضاء المختلفة للجسم بدلالة التعرض باستخدام برنامج مونتي كارلو الجاوز (CT DOSE) للالاعضاء المختلفة (Monte Carlo Pakages) والموضحة في الشكلين (٨ - ٣٠ ) و(٨ - ٣١ ) . في الشكل (٨ - ٣٠ ) يلاحظ بان المقدار الاعظم لمكافئ الجرعة الفعالة والتغير الحاد في ميل المنحنى يكون للرئتين ، القلب ، الثدي على التوالي ، المقدار الاوطي لمكافئ الجرعة الفعالة والتغير الحاد في ميل المنحنى يكون للغدة الدرقية ، الكبد الطحال ، والكليتين على التوالي .

**شكل (٨ - ٢٩ ) مخطط الجرعة (Dose prfprofile)**





الشكل (٨ - ٣٠) الخط البياني للمقدار CTDI<sub>2</sub>-الجرعة المقطعيه باستخدام المعادلات الرياضية كدالة CTDI دالة الجرعة المقطعيه باستخدام المساحة تحت المنحنى الجاوسي



٢٠ ٤٠ ٦٠

### CTDI<sub>1</sub> \ mGy

**الجدول (٨) = ٢٠ (القيم للمقدار CTDI<sub>1</sub>- كدالة CTDI<sub>2</sub>)**

الكتلة	سمك الشرحية ٨ ملم		
	CTDI <sub>1</sub>	CTDI <sub>2</sub>	المعدل
<b>60</b>	<b>27.789</b>	<b>30.611</b>	<b>29.200</b>
<b>90</b>	<b>33.226</b>	<b>35.615</b>	<b>34.420</b>
<b>120</b>	<b>39.941</b>	<b>43.227</b>	<b>41.084</b>
<b>140</b>	<b>40.188</b>	<b>43.227</b>	<b>41.707</b>
<b>225</b>	<b>48.066</b>	<b>53.147</b>	<b>50.606</b>

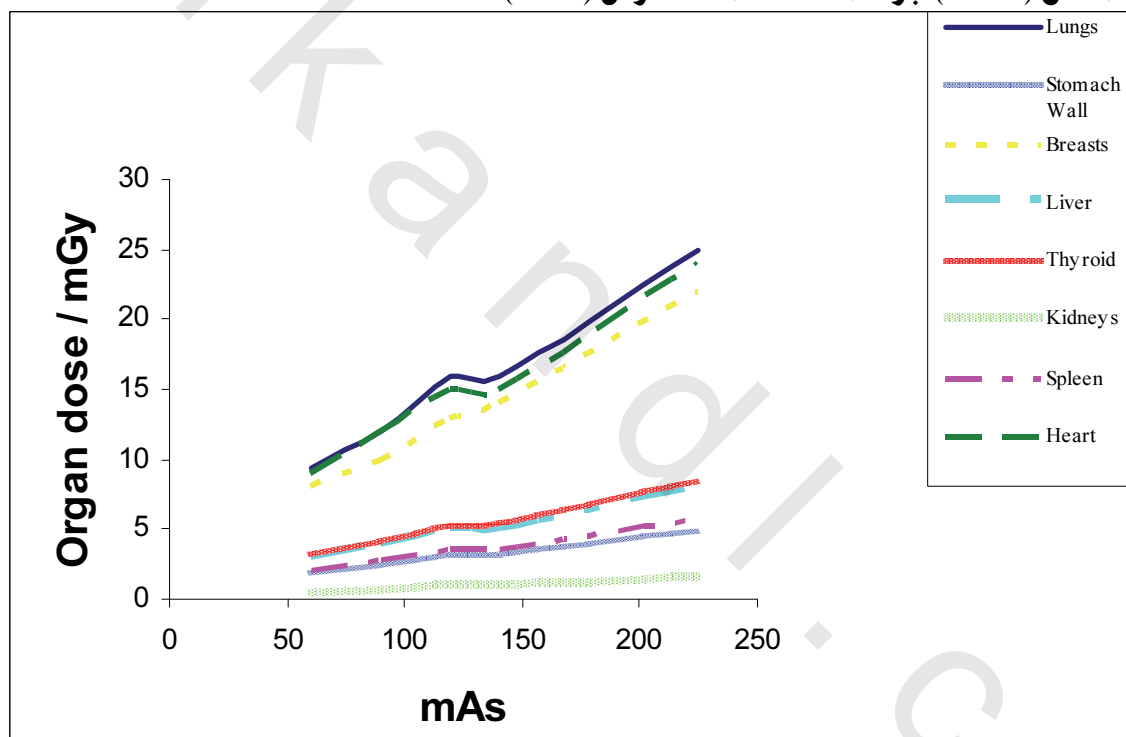
**الجدول (٩) = ٢١ (زيادة ميل المنحنى لكافى الجرعة كدالة للتعرض (mAs))**

العضو	زيادة المنحنى للجرعة المكافئة ملي جري لوحدة الكتلة عند kV <sub>p</sub> ١٣٠
الرئتين	<b>0.1095</b>
القلب	<b>0.1019</b>
الثدي	<b>0.0869</b>
الكبد	<b>0.0350</b>
الغدة الدرقية	<b>0.0354</b>
الطحال	<b>0.0252</b>
غضارب المعدة	<b>0.0214</b>

<b>البنكرياس</b>	<b>0.0252</b>
<b>الكليتين</b>	<b>0.0075</b>

تم قياس ميل الجرعة كدالة للتعرض ووجد بان العلاقة بينهما طردية جدول (٢) وفي البحث تم قياس تغير مكافئ الجرعة الفعالة للصدر كدالة للتعرض بثبوت ذروة الفولطية ووجد بان مكافئ الجرعة يزداد من ٤,٧ mSv عند تعرض ٦٠ ملي امبير. ثانية الى ٩,١ mSv عند تعرض ٢٢٥ ملي امبير. ثانية شكل (٨ - ٣٢).

**الشكل (٨ - ٣١) جرعة الاعضاء كدالة للتعرض (mAs)**



**الشكل (٨ - ٣٢) مكافئ جرعة الصدر كدالة للتعرض (mAs) باستخدام برنامج**

**مونتي كارلو**

